

Elektromagnetické vlny

Maxwellove rovnice

Vlnová rovnice

Rovinná vlna

Kulová vlna

Vlnová rovnice v materiálovom prostredí

Rychlost a smer šírenia vlny

Energia vlny

Polarizácia monochromatickej vlny

Polarizačná elipsa

Jonesov formalizmus

Príprava polarizovaného svetla

Polarizačné zariadenia

Odraz a lom

Zákon odrazu a lomu

Fresnelove vzorce

Výkonové koeficienty a energetická bilancia

Opticky hustejšie prostredie

Opticky redšie prostredie

Interference

Dvoutsvazková interferencia rovinných vln

Michelsonov interferometer

Planparalelná destička

Nekolineárne vlnové vektory

Interferenčné proužky

Interferencia mnoha vln

Dve vlny rôznej frekvencie

Grupová a fázová rychlost

Difrakce

Difrakční integrál

Fresnelova aproximace

Fraunhoferova aproximace

Intenzita na přímce kruhového otvoru

Babinetův princip

Difrakce na hraně

Difrakce na štrbině

Difrakce na obdélníku

Rayleighovo kritérium

Amplitúdová difrakční mřížka

Difrakční rovnice

Holografie

Koherence

Popis koherence

Časová koherence

Prostorová koherence

Geometrická optika

Eikonal

Eikonalová rovnice

Paprsková rovnice

Lagrangeov invariant

Fermatův princip

Descartesovy plochy

Paraxiální optika

Gaussova zobrazovací rovnice

Maticová optika

Zvětšování

Optické přístroje

Anizotropné prostredie

Základný popis

Fresnelova rovnice

Poyntingov vektor

Lom svetla

Použitie

Indikatrix

Vláknová optika

Vedenie vlny

Módy

Útlm

Nelineárna optika

2. rádu

3. rádu

Interakce záření s hmotou

Základný popis

Fresnelovy koeficienty

Poyntingov vektor

Lorentzov model

Drudeho model

Záření černého tělesa

Základní popis

Wienov zákon

Rayleighův - Jeansův zákon

Planckov zákon

Elektromagnetické vlny

Maxwellove rovnice

$$\nabla \cdot \vec{E} = \frac{\rho}{\epsilon_0}$$

$$\nabla \cdot \vec{B} = 0$$

$$\nabla \times \vec{E} = -\frac{\partial \vec{B}}{\partial t}$$

$$\nabla \times \vec{B} = \mu_0 \vec{j} + \mu_0 \epsilon_0 \frac{\partial \vec{E}}{\partial t}$$

$$\nabla \cdot \vec{D} = \rho$$

$$\nabla \cdot \vec{B} = 0$$

$$\nabla \times \vec{E} = -\frac{\partial \vec{B}}{\partial t}$$

$$\nabla \times \vec{H} = \vec{j} + \frac{\partial \vec{D}}{\partial t}$$

Vlnová rovnice

- obecná: $\frac{\partial^2 \mu}{\partial x^2} = \frac{1}{v^2} \frac{\partial^2 \mu}{\partial t^2}$

$$\left(\frac{\partial^2}{\partial x^2} - \frac{1}{v^2} \frac{\partial^2}{\partial t^2} \right) \mu = 0 \quad \rightarrow \quad \left(\frac{\partial^2}{\partial x^2} - \frac{1}{v} \frac{\partial}{\partial t} \right) \left(\frac{\partial^2}{\partial x^2} + \frac{1}{v} \frac{\partial}{\partial t} \right) \mu = 0$$

označíme $\xi_1 = x - vt$ $\frac{\partial}{\partial t} = -v \frac{\partial}{\partial \xi_1} + v \frac{\partial}{\partial \xi_2}$

$\xi_2 = x + vt$ $\frac{\partial}{\partial x} = \frac{\partial}{\partial \xi_1} + \frac{\partial}{\partial \xi_2}$

potom $\frac{\partial^2 \mu}{\partial \xi_1 \partial \xi_2} = 0 \Rightarrow \mu = f(\xi_1) + g(\xi_2) = f(x - vt) + g(x + vt)$

Rovinná vlna

$$\vec{E} = \vec{E}_0 \cos(\vec{k} \cdot (\vec{r} - \vec{v}t) + \delta) = \vec{E}_0 \cos(\vec{k} \cdot (\vec{r} - \vec{v}t) + \delta) = \vec{E}_0 \cos(\underbrace{\vec{k} \cdot \vec{r} - \vec{k} \cdot \vec{v}t + \delta}_{\text{fáze}})$$

$\vec{k} \cdot \vec{v}$ *počet fází* $\vec{k} \cdot \vec{r}$ *fáze*

$$k = \frac{2\pi}{\lambda} \quad \omega = 2\pi f = \vec{k} \cdot \vec{v} = kv$$

$$\lambda f = v$$

$$\vec{s}_0 = \frac{\vec{k}}{k}$$

$$\vec{k} = \frac{2\pi}{\lambda} \vec{s}_0$$

$$\vec{s}_0 \cdot \vec{r} = \text{konst.} \rightarrow \text{tvorí rovinu}$$

$$\vec{E} = \vec{E}_0 e^{i(\vec{k} \cdot \vec{r} - \omega t + \delta)} \quad \rightarrow \text{cplx vyjadrenie}$$

Kulová vlna

→ vznik napr. osciláccou dipólu : $p(t) = p_0 e^{-i\omega t}$

$$P_{\text{čas}} = \frac{\mu_0 p_0^2 \omega^4}{12\pi c} \rightarrow \text{vyžarovaný výkon dipólom}$$

$$\nabla^2 \psi(r) = \frac{1}{r^2} \frac{\partial}{\partial r} \left(r^2 \frac{\partial \psi(r)}{\partial r} \right) \rightarrow \text{pre sféricky symetrické funkciu } \psi(r)$$

$$\Rightarrow \frac{1}{r^2} \frac{\partial}{\partial r} \left(r^2 \frac{\partial \psi(r)}{\partial r} \right) = \frac{1}{c^2} \frac{\partial^2 \psi}{\partial t^2} \rightarrow \text{substitúcia } \psi = \frac{1}{r} \varphi$$

$$\frac{1}{r^2} \frac{\partial}{\partial r} \left(-\varphi + r \frac{\partial \varphi}{\partial r} \right) = \frac{1}{c^2} \frac{1}{r} \frac{\partial^2 \varphi}{\partial t^2}$$

$$\frac{1}{r^2} \left(-\cancel{\frac{\partial \varphi}{\partial r}} + \cancel{\frac{\partial \varphi}{\partial r}} + r \frac{\partial^2 \varphi}{\partial r^2} \right) = \frac{1}{c^2} \frac{1}{r} \frac{\partial^2 \varphi}{\partial t^2} \rightarrow \frac{\partial^2 \varphi}{\partial r^2} = \frac{1}{c^2} \frac{\partial^2 \varphi}{\partial t^2}$$

$$\Rightarrow \varphi = A e^{i(kr \pm \omega t)} \rightarrow \psi = \frac{A}{r} e^{i(kr \pm \omega t)}$$

Vlnová rovnice v materiálovom prostredí

• dominuje elektrická zložka

• nemagnetická aproximácia $\vec{B} \approx \mu_0 \vec{H}$

$$\nabla \times \vec{H} = \vec{j}_f + \frac{\partial \vec{D}}{\partial t} \rightarrow \nabla \times \vec{B} = \mu_0 \vec{j}_f + \mu_0 \frac{\partial \vec{D}}{\partial t}, \text{ kde } \vec{D} = \epsilon \vec{E} + \vec{P}$$

$$\nabla \times \nabla \times \vec{E} = \nabla(\nabla \cdot \vec{E}) - \nabla^2 \vec{E} = \frac{1}{\epsilon_0} \nabla(\rho_f + \rho_p) - \nabla^2 \vec{E} = \frac{\nabla \rho_f}{\epsilon_0} + \frac{\nabla \rho_p}{\epsilon_0} - \nabla^2 \vec{E}$$

$$= -\frac{\partial}{\partial t}(\nabla \times \vec{B}) = -\mu_0 \frac{\partial}{\partial t} \vec{j}_f - \mu_0 \frac{\partial^2 \vec{D}}{\partial t^2} = -\mu_0 \frac{\partial \vec{j}_f}{\partial t} - \mu_0 \epsilon \frac{\partial^2 \vec{E}}{\partial t^2} - \mu_0 \frac{\partial^2 \vec{P}}{\partial t^2}$$

$$\Rightarrow \nabla^2 \vec{E} - \mu_0 \epsilon_0 \frac{\partial^2 \vec{E}}{\partial t^2} = \mu_0 \frac{\partial \vec{j}_f}{\partial t} + \mu_0 \frac{\partial^2 \vec{P}}{\partial t^2} + \frac{\nabla \rho_f}{\epsilon_0} + \frac{\nabla \rho_p}{\epsilon_0} \rightarrow \rho_p = -\nabla \cdot \vec{P}$$

$$\Rightarrow \nabla^2 \vec{E} - \mu_0 \epsilon_0 \frac{\partial^2 \vec{E}}{\partial t^2} = \mu_0 \frac{\partial \vec{j}_f}{\partial t} + \mu_0 \frac{\partial^2 \vec{P}}{\partial t^2} + \frac{\nabla \rho_f}{\epsilon_0} - \frac{1}{\epsilon_0} \nabla(\nabla \cdot \vec{P})$$

- nevodivé: $\vec{J}_f = 0, \vec{J}_f = 0$
- izotropné: $\nabla(\nabla \cdot \vec{P}) = 0$
- nemagnetické: $\vec{B} = \mu_0 \vec{H} \quad (\vec{M} = 0)$
- lineárni: $\vec{P} = \epsilon_0 \chi(\omega) \vec{E} = \epsilon_0 (\epsilon_r(\omega) - 1) \vec{E}$

$$\Rightarrow \nabla^2 \vec{E} - \cancel{\mu_0 \epsilon_0} \frac{\partial^2 \vec{E}}{\partial t^2} = \mu_0 \frac{\partial^2 \vec{P}}{\partial t^2} = \mu_0 \frac{\partial^2}{\partial t^2} (\epsilon_0 \epsilon_r(\omega) \vec{E}) - \cancel{\mu_0 \epsilon_0} \frac{\partial^2 \vec{E}}{\partial t^2}$$

$$\nabla^2 \vec{E} = \underbrace{\mu_0 \epsilon_0 \epsilon_r(\omega)}_{\frac{1}{v^2(\omega)}} \frac{\partial^2 \vec{E}}{\partial t^2}$$

Rychlost a směr šíření

• fázová rychlost šíření: $v(\omega) = \frac{1}{\sqrt{\mu_0 \epsilon_0 \epsilon_r(\omega)}} = \frac{c}{\sqrt{\epsilon_r(\omega)}} = \frac{c}{n(\omega)}$

$$n(\omega) = \sqrt{\epsilon_r(\omega)} = \frac{c}{v(\omega)} \geq 1 \quad k(\omega) = \frac{n(\omega) \omega}{c} \quad \lambda(\omega) = \frac{\lambda_0(\omega)}{n(\omega)}$$

$$\vec{k} \cdot \vec{r} - \omega t = k(\vec{s}_0 \cdot \vec{r} - vt), \text{ označme } \xi = \vec{s}_0 \cdot \vec{r} - vt$$

$$\rightarrow \text{potom } \frac{\partial}{\partial x^i} = \frac{d\xi}{dx^i} \frac{\partial}{\partial \xi} = s_{0i} \frac{\partial}{\partial \xi} \quad \frac{\partial}{\partial t} = \frac{d\xi}{dt} \frac{\partial}{\partial \xi} = -v \frac{\partial}{\partial \xi}$$

$$\Rightarrow \nabla \times \vec{E} = \epsilon_{ijk} \frac{\partial}{\partial x^i} E_k = \epsilon_{ijk} s_{0i} \frac{\partial}{\partial \xi} E_k = \vec{s}_0 \times \frac{\partial \vec{E}}{\partial \xi} = -\frac{\partial \vec{B}}{\partial t} = v \frac{\partial \vec{B}}{\partial \xi}$$

$$\Rightarrow \frac{\partial}{\partial \xi} (\vec{s}_0 \times \vec{E}) = \frac{\partial}{\partial \xi} (v \vec{B}) \Rightarrow \vec{s}_0 \times \vec{E} = v \vec{B}$$

$$\vec{s}_0 \times \vec{s}_0 \times \vec{E} = \vec{s}_0 (\vec{s}_0 \cdot \vec{E}) - \vec{E} (\vec{s}_0 \cdot \vec{s}_0) = v \vec{s}_0 \times \vec{B}$$

$$\Rightarrow \vec{s}_0 \times \vec{B} = -\frac{1}{v} \vec{E}$$

Energia vlny

$$u_E = \frac{1}{2} \vec{E} \cdot \vec{D} = \frac{1}{2} \epsilon_0 \epsilon_r E^2 \quad u_B = \frac{1}{2} \vec{H} \cdot \vec{B} = \frac{1}{2\mu_0} B^2$$

$$B = \frac{1}{v} E \Rightarrow B^2 = \epsilon_r \mu_0 \epsilon_r E^2 \Rightarrow u_B = \frac{1}{2} \epsilon_0 \epsilon_r E^2$$

$$\Rightarrow u = u_E + u_B = \epsilon_0 \epsilon_r E^2 = \epsilon_0 \epsilon_r v \vec{E} \cdot \vec{B}$$

$$\hookrightarrow \text{pre vlnu v tvare } \vec{E} = \vec{E}_0 \cos(\vec{k} \cdot \vec{r} - \omega t) \text{ je } \langle u_E \rangle = \frac{1}{4} \epsilon_0 \epsilon_r E_0^2$$

→ celková hustota energie potom:

$$U = \langle u_E \rangle + \langle u_B \rangle = \frac{\epsilon_0 \epsilon_r}{2} E_0^2$$

$$\rightarrow \text{žiariaci výkon } \langle c u \rangle = \langle \epsilon_0 E^2 c \rangle$$

Poyntingov vektor:

$$\vec{S} = \vec{E} \times \vec{H} = \frac{1}{\mu_0} \vec{E} \times \vec{B}$$

$$E \text{ je kolmé na } B \Rightarrow S = \frac{1}{\mu_0} E B = \frac{1}{\mu_0 v} E^2$$

$$\Rightarrow \langle S \rangle = \frac{1}{2} \frac{E_0^2}{\mu_0 v} = \frac{1}{2} \frac{E_0^2}{\mu_0} \frac{n}{c} = \frac{1}{2} \epsilon_0 c n E_0^2$$

$$\rightarrow \text{definujeme intenzitu vlny: } I := \langle S \rangle = \frac{1}{2} \epsilon_0 c n E_0^2$$

Polarizace monochromatické vlny

Polarizační elipsa

- zvolíme vlnu v tvare

$$\begin{aligned} E_x &= a_x e^{i(kz - \omega t)} = a_x \cos(kz - \omega t) \\ E_y &= a_y e^{i(kz - \omega t - \delta)} = a_y \cos(kz - \omega t - \delta) \end{aligned} \quad \left. \vphantom{\begin{aligned} E_x \\ E_y \end{aligned}} \right\} \begin{array}{l} \text{eliptický} \\ \text{valec} \end{array}$$

→ v závislosti na a_x, a_y, δ dostaneme různé druhy polarizace:

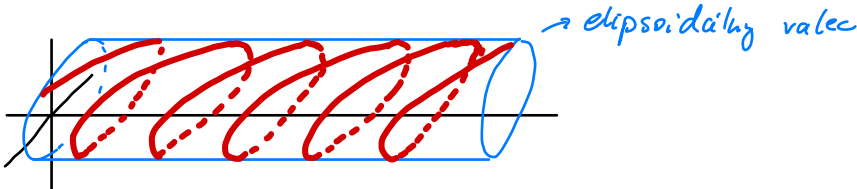
$$E_y = a_y \cos(kz - \omega t) \cos \delta + a_y \sin(kz - \omega t) \sin \delta$$

$$\frac{E_y}{a_y} = \frac{E_x}{a_x} \cos \delta + \sqrt{1 - \left(\frac{E_x}{a_x}\right)^2} \sin \delta$$

$$\left(\frac{E_y}{a_y}\right)^2 + \left(\frac{E_x}{a_x}\right)^2 \cos^2 \delta - 2 \frac{E_y}{a_y} \frac{E_x}{a_x} \cos \delta = \sin^2 \delta - \sin^2 \delta \left(\frac{E_x}{a_x}\right)^2$$

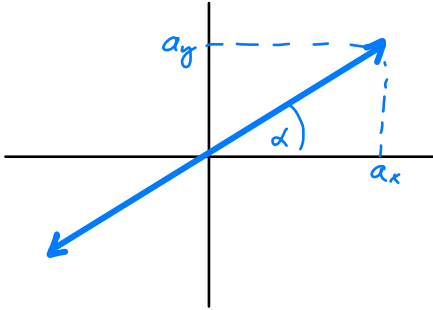
$$\left(\frac{E_y}{a_y}\right)^2 - 2 \frac{E_y}{a_y} \frac{E_x}{a_x} \cos \delta + \left(\frac{E_x}{a_x}\right)^2 = \sin^2 \delta$$

- $\delta = \pm \frac{\pi}{2}, a_x = a_y \rightarrow$ kruhová polarizované
- $\delta = 0 \rightarrow$ lin. polarizované
- obecně elipsa



Jonesov formalizmus

- polarizačný stav = vektor
- optické prvky meniace polarizáciu = matrice
- platí len pre úplne polarizované svetlo



$$\sin \alpha = \frac{a_y}{\sqrt{a_x^2 + a_y^2}} \quad \cos \alpha = \frac{a_x}{\sqrt{a_x^2 + a_y^2}}$$

$$\begin{aligned} E_x &= a_x e^{i\varphi} = \sqrt{a_x^2 + a_y^2} \cos \alpha e^{i\varphi} \\ E_y &= a_y e^{i(\varphi - \delta)} = \sqrt{a_x^2 + a_y^2} \sin \alpha e^{-i\delta} e^{i\varphi} \end{aligned}$$

$$\vec{E} = E_{\text{eff}} \begin{pmatrix} \cos \alpha \\ \sin \alpha e^{-i\delta} \end{pmatrix} e^{i\varphi} = E_{\text{eff}} \vec{J} e^{i\varphi}$$

$$E_{\text{eff}} := \sqrt{a_x^2 + a_y^2}$$

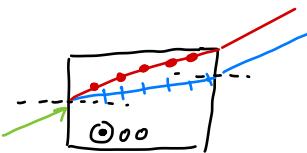
$$\vec{J} = \begin{pmatrix} \cos \alpha \\ \sin \alpha e^{-i\delta} \end{pmatrix} \rightarrow \text{Jonesov vektor, } |\vec{J}| = 1$$

$$\langle M_E \rangle = \frac{1}{2} \epsilon_0 E^2 = \frac{1}{2} \epsilon_0 E_{\text{eff}}^2$$

- špeciálne prípady:
 - $\vec{J} = \frac{1}{\sqrt{2}} \begin{pmatrix} 1 \\ -i \end{pmatrix} \rightarrow \text{RCP}$
 - $\vec{J} = \frac{1}{\sqrt{2}} \begin{pmatrix} 1 \\ i \end{pmatrix} \rightarrow \text{LCP}$

Príprava polarizovaného stavu

- lineárni dvojitom



- rôzne n v rôznych smeroch

- odraz

od povrchu, pre
 $\tan \theta_{\text{Br}} = \frac{n_2}{n_1}$
 Brew. uhol

- dichroizmus

- v jednom smere
 je \vec{E} absorbované

Polarizačné zariadenia

• rotačtor

$$T = \begin{pmatrix} \cos\alpha & -\sin\alpha \\ \sin\alpha & \cos\alpha \end{pmatrix}$$

• polarizátor

→ projekcie na vektor $\vec{p} = \begin{pmatrix} \cos\beta \\ \sin\beta \end{pmatrix}$

⇒ T je projekčná matica:

$$T = \begin{pmatrix} \cos\beta \\ \sin\beta \end{pmatrix} (\cos\beta \ \sin\beta) = \begin{pmatrix} \cos^2\beta & \sin\beta\cos\beta \\ \sin\beta\cos\beta & \sin^2\beta \end{pmatrix}$$

↳ nechť $\vec{p} = \begin{pmatrix} 0 \\ 1 \end{pmatrix}$ a $E_y = E_0 \cos y e^{i\omega t}$ je polarizované svetlo, kde y je smer, meraný od \vec{p}

$$\bullet I = \frac{1}{2} \epsilon_0 n c E_0^2 \cos^2 y = I_0 \cos^2 y$$

→ ak máme nepolarizované svetlo a $y \in [0, 2\pi]$, tak pre celk. intenzitu platí:

$$I = \frac{1}{2\pi} \int_0^{2\pi} I_0 \cos^2 y \, dy = \frac{I_0}{2\pi} \int_0^{2\pi} \left(\frac{1}{2} + \frac{1}{2} \cos 2y \right) dy = \frac{I_0}{2}$$

⇒ pre obecné nepolarizované svetlo polarizátor prepustí polovicu I

• fázová destička

$$\phi = \frac{2\pi}{\lambda} (n_y - n_x) d \quad \rightarrow \quad T = \begin{pmatrix} 1 & 0 \\ 0 & e^{i\phi} \end{pmatrix}$$

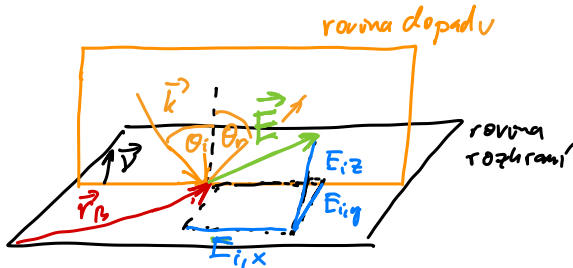
Odraž a lom

Zákon odrazu a lomu

• z Maxwellových rovnic plyne:

$$(1) \vec{E}_{i, \text{tečna}} + \vec{E}_{r, \text{tečna}} = \vec{E}_{e, \text{tečna}}$$

$$(2) \vec{H}_{i, \text{tečna}} + \vec{H}_{r, \text{tečna}} = \vec{H}_{e, \text{tečna}}$$



$$\rightarrow \text{z (1) dostaneme: } \vec{k}_i \cdot \vec{r} - \omega_i t = \vec{k}_r \cdot \vec{r} - \omega_r t = \vec{k}_e \cdot \vec{r} - \omega_e t$$

• porovnáním časových koef. dostaneme:

$$\omega_i = \omega_r = \omega_e$$

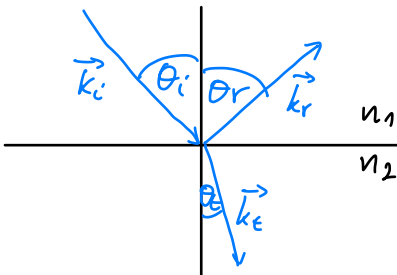
• porovnáním poloh koef. — || — :

$$\vec{k}_i \cdot \vec{r}_B = \vec{k}_r \cdot \vec{r}_B = \vec{k}_e \cdot \vec{r}_B$$

$\rightarrow \vec{r}_B$ je vektor v xy rovine: $\vec{r}_B = (x, y, 0)$

$$\rightarrow \vec{k}_i = (k_{ix}, 0, 0) \Rightarrow k_{ix} x = k_{rx} x + k_{ry} y = k_{ex} x + k_{ey} y$$

\Rightarrow porovnáním koef dostaneme $k_{ry} = k_{ey} = 0 \Rightarrow \vec{k}_i, \vec{k}_r, \vec{k}_e$ v 1 rovine



$$k_{ix} = k_{rx} \Rightarrow \frac{2\pi}{\lambda} n_1 \sin \theta_i = \frac{2\pi}{\lambda} n_1 \sin \theta_r$$

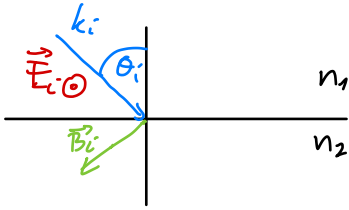
$$\Rightarrow \sin \theta_i = \sin \theta_r \Rightarrow \theta_i = \theta_r$$

$$k_{ix} = k_{ex} \Rightarrow \frac{2\pi}{\lambda} n_1 \sin \theta_i = \frac{2\pi}{\lambda} n_2 \sin \theta_e$$

$$\Rightarrow n_1 \sin \theta_i = n_2 \sin \theta_e$$

Fresnelove vzorce

- s-polarizace = kolmo na rovinu dopadu: $\vec{E}_i = (0, E_{iy}, 0)$



$$\vec{k}_i = (k_{ix}, 0, k_{iz}) = k (\sin \theta_i, 0, \cos \theta_i)$$

platí: $\vec{s}_0 \times \vec{E}_i = v \vec{B}_i = \frac{c}{n_1} \vec{B}_i$, kde $\vec{s}_0 = \frac{\vec{k}_i}{k} = (\sin \theta_i, 0, \cos \theta_i)$

$$\Rightarrow \vec{B}_i = \frac{n_1}{c} \vec{s}_0 \times \vec{E}_i = \frac{n_1}{c} E_{iy} (-\cos \theta_i, 0, \sin \theta_i)$$

$$\vec{B}_t = \frac{n_2}{c} \vec{s}_0 \times \vec{E}_t = \frac{n_2}{c} E_{ty} (-\cos \theta_t, 0, \sin \theta_t)$$

$$\vec{B}_r = \frac{n_1}{c} \vec{s}_0 \times \vec{E}_r = \frac{n_1}{c} E_{ry} (\cos \theta_i, 0, \sin \theta_i)$$

- z0 spojitosti: $B_{ix} + B_{rx} = B_{tx}$

$$E_{iy} + E_{ry} = E_{ty}$$

$$\Rightarrow -\cos \theta_i n_1 E_{iy} + \cos \theta_i n_1 E_{ry} = -n_2 E_{ty} \cos \theta_t = -n_2 (E_{iy} + E_{ry}) \cos \theta_t$$

$$-\cos \theta_i n_1 + \cos \theta_i n_1 \frac{E_{ry}}{E_{iy}} = -n_2 \cos \theta_t - n_2 \frac{E_{ry}}{E_{iy}} \cos \theta_t$$

definujeme: $r_s = \frac{E_{ry}}{E_{iy}} = \frac{n_1 \cos \theta_i - n_2 \cos \theta_t}{n_1 \cos \theta_i + n_2 \cos \theta_t} = \frac{\sin(\theta_t - \theta_i)}{\sin(\theta_t + \theta_i)}$

$$t_s = \frac{E_{ty}}{E_{iy}} = r_s + 1$$

- p-polarizace

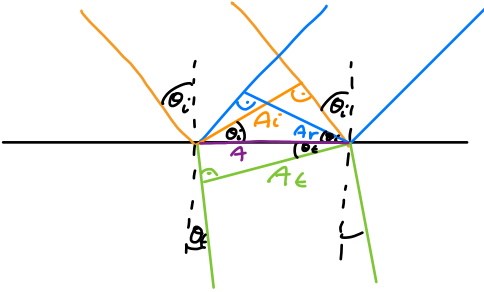
$$r_p = \frac{E_r}{E_i} = \frac{n_1 \cos \theta_t - n_2 \cos \theta_i}{n_1 \cos \theta_t + n_2 \cos \theta_i} = \frac{\tan(\theta_t - \theta_i)}{\tan(\theta_t + \theta_i)}$$

$$t_s = (r_s + 1) \frac{\cos \theta_i}{\cos \theta_t}$$

Výkonové koeficienty a energetická bilance

- intenzity jednotlivých vln sv: $I_i = \frac{1}{2} \epsilon_0 c n_1 E_{oi}^2$
- $I_t = \frac{1}{2} \epsilon_0 c n_2 E_{ot}^2$
- $I_r = \frac{1}{2} \epsilon_0 c n_1 E_{or}^2$

výkon J je daný ako $J = I \cdot A$, kde A je pričný prierez vlny



$$A = \frac{A_t}{\cos \theta_t} = \frac{A_r}{\cos \theta_r} = \frac{A_i}{\cos \theta_i}$$

$$\Rightarrow J_i = \frac{1}{2} \epsilon_0 c n_1 E_{oi}^2 A \cos \theta_i$$

$$J_r = \frac{1}{2} \epsilon_0 c n_1 E_{or}^2 A \cos \theta_i$$

$$J_t = \frac{1}{2} \epsilon_0 c n_2 E_{ot}^2 A \cos \theta_t$$

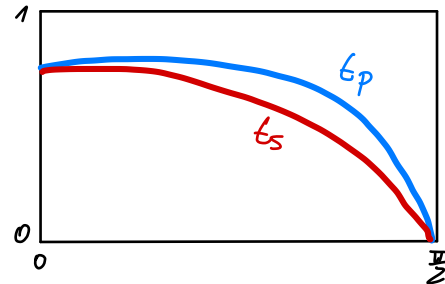
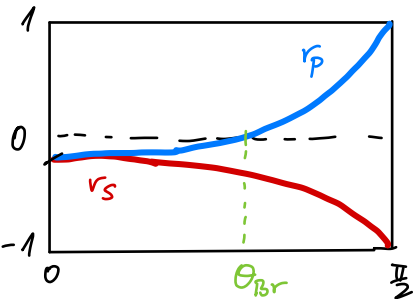
• ZZE: $J_i = J_r + J_t \Rightarrow n_1 E_{oi}^2 \cos \theta_i = n_1 E_{or}^2 \cos \theta_i + n_2 E_{ot}^2 \cos \theta_t$

výkonové koeficienty:

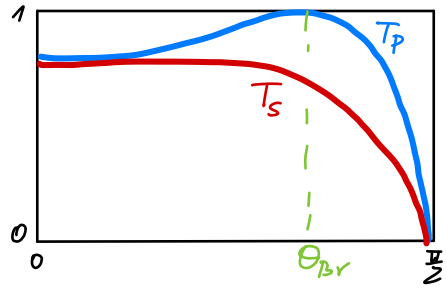
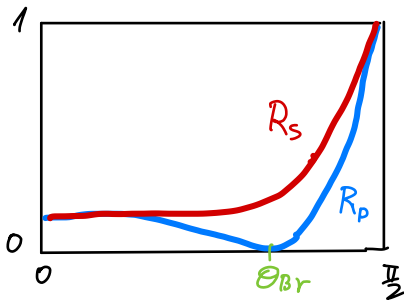
$$R_{s,p} = \frac{J_r}{J_i} = \frac{E_{or}^2}{E_{oi}^2} = |r_{s,p}|^2$$

$$T_{s,p} = \frac{J_t}{J_i} = \frac{n_2 \cos \theta_t}{n_1 \cos \theta_i} |t_{s,p}|^2$$

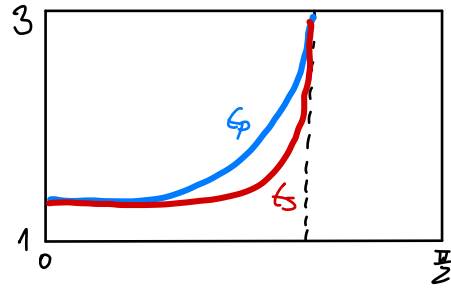
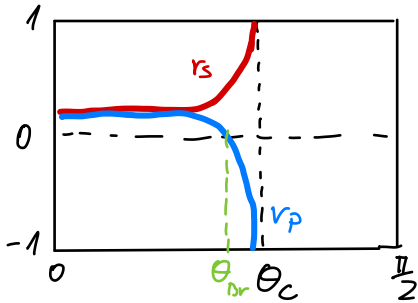
Opticky hustejšie prostredie



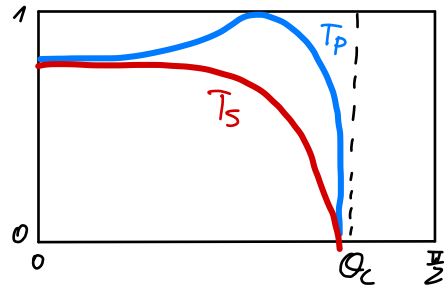
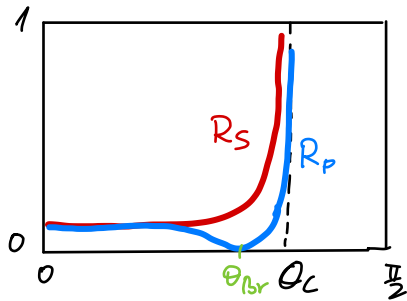
- ak $\theta_i = \theta_{Br}$ tj. $\tan \theta_i = \frac{n_2}{n_1}$, tak $r_p = 0 \Rightarrow$ plne kolmo polarizované
- $r_s < 0 \Rightarrow$ obracia polarizáciu



Optický reděie prostředí



- $r_s > 0 \Rightarrow$ neortáa polarizácv
- pre $\theta \geq \theta_c$ nastáva totální odraz s rđznými fázeovými posunmi
 \hookrightarrow do 2. prostředí prechá evanescentná vlna, exp. tlmena



Interference 1

monochromatické vlny

- 2 spôsoby - delení vlnoplochy

- delení amplitudy - beamsplitter

Dvov svazková interference rovinných vln

$$\begin{aligned}\vec{E}_1 &= \vec{E}_{o1} e^{i(\vec{k}_1 \cdot \vec{r} - \omega t + \delta_{o1})} \\ \vec{E}_2 &= \vec{E}_{o2} e^{i(\vec{k}_2 \cdot \vec{r} - \omega t + \delta_{o2})}\end{aligned} \quad |\vec{k}_1| = |\vec{k}_2|$$

$$\vec{E} = \vec{E}_1 + \vec{E}_2$$

$$I = \frac{1}{4} \epsilon_0 n^2 \vec{E} \cdot \vec{E}^* = \frac{1}{4} \epsilon_0 n^2 (E_{o1}^2 + E_{o2}^2 + \vec{E}_{o1} \cdot \vec{E}_{o2} e^{i(\varphi_1 - \varphi_2)} + \vec{E}_{o1} \cdot \vec{E}_{o2} e^{-i(\varphi_1 - \varphi_2)})$$

$$= I_1 + I_2 + \frac{1}{4} \epsilon_0 n^2 2E_{o1}E_{o2} \cos \alpha \cos(\varphi_1 - \varphi_2) =$$

$$= I_1 + I_2 + \frac{1}{4} \epsilon_0 n^2 2E_{o1}E_{o2} \cos \alpha \cos \delta_{12}(\vec{r})$$

$$I = I_1 + I_2 + 2\sqrt{I_1 I_2} \cos \alpha \cos \delta_{12}$$

$$\delta_{12} = k(\vec{s}_{o1} - \vec{s}_{o2}) \cdot \vec{r} + \delta_{o1} - \delta_{o2}$$

pre $\cos \alpha = 1$:

$$I_{\max} = I_1 + I_2 + 2\sqrt{I_1 I_2}$$

$$\delta_{12} = 0$$

$$I_{\min} = I_1 + I_2 - 2\sqrt{I_1 I_2}$$

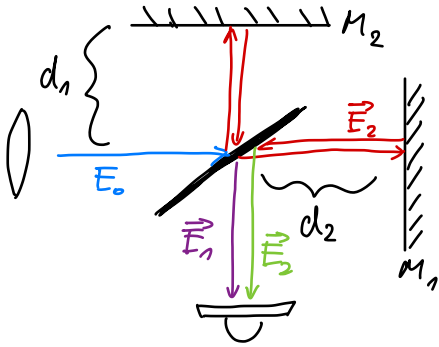
$$\delta_{12} = \pi$$

viditeľnosť

$$V = \frac{I_{\max} - I_{\min}}{I_{\max} + I_{\min}} = \frac{2\sqrt{I_1 I_2}}{I_1 + I_2}$$

nech $I_1 = I_2 = I_0$, potom $I = 2I_0(1 + \cos \delta_{12}) = 4I_0 \cos^2 \frac{\delta_{12}}{2}$

Michelsonov interferometer ($\vec{k}_1 \parallel \vec{k}_2$)



$$\delta_{12} = \varphi_2 - \varphi_1 = k2(d_2 - d_1) = \frac{4\pi n}{\lambda}(d_2 - d_1)$$

→ maximum: $\delta_{12} = 2m\pi$:

$$d_2 - d_1 = \frac{m\lambda}{2n}$$

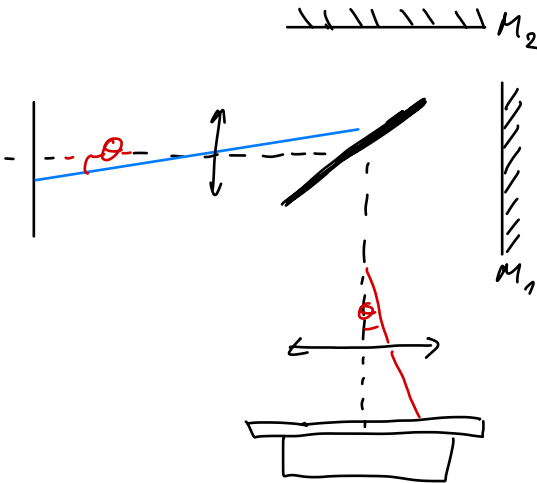
→ minimum: $\delta_{12} = \pi(2m+1)$

$$d_2 - d_1 = \frac{(m + \frac{1}{2})\lambda}{2n}$$

$$\left. \begin{aligned} E_1 &= t_{BS} r_{M_1} r_{BS} E_0 \\ E_2 &= r_{BS} r_{M_2} t_{BS} E_0 \end{aligned} \right\} \begin{aligned} &\text{ak budú zrkadla rovnaké, tak } E_1 = E_2, \\ &\text{teda } I_1 = I_2 = I_0 \end{aligned}$$

$$\Rightarrow I = 4 I_0 \cos^2\left(\frac{2\pi n}{\lambda}(d_2 - d_1)\right) \rightarrow \text{nezavisi na polohe}$$

• Zmeňme dĺžku strieľaného paprsku:



$$\begin{aligned} \delta_{12} &= k2(d_1 - d_2) \cos \theta \\ &= \frac{2\pi}{\lambda} 2n(d_1 - d_2) \cos \theta \end{aligned}$$

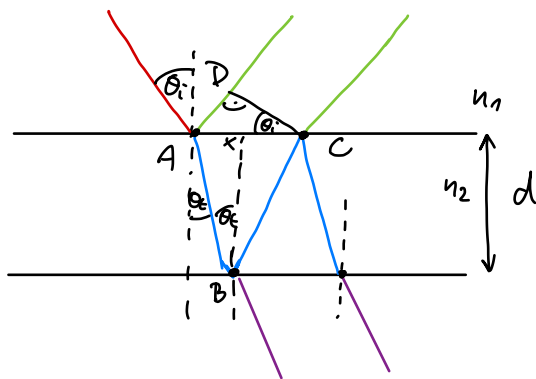
• maximum:

$$(d_1 - d_2) \cos \theta = \frac{\lambda m}{2n}$$

• minimum:

$$(d_1 - d_2) \cos \theta = \frac{\lambda(m + \frac{1}{2})}{2n}$$

Plan paralelní destička ($\vec{k}_1 \parallel \vec{k}_2$)



$$\sin \theta_i = \frac{|AD|}{x}$$

$$|ABC| = 2|AB| = \frac{x}{\sin \theta_e}$$

$$\text{tg } \theta_e = \frac{x/2}{d} \Rightarrow x = 2 \text{tg } \theta_e d$$

$$\delta = \frac{2\pi}{\lambda} n_2 |ABC| - \frac{2\pi}{\lambda} n_1 |AD| = \frac{2\pi}{\lambda} n_2 \frac{x}{\sin \theta_e} - \frac{2\pi}{\lambda} n_1 x \sin \theta_i =$$

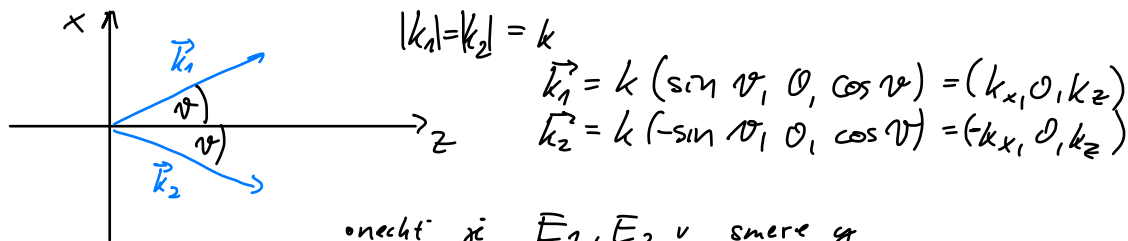
$$= \frac{2\pi}{\lambda} n_2 \left(\frac{2 \text{tg } \theta_e d}{\sin \theta_e} - 2 \text{tg } \theta_e d \sin \theta_e \right) = \frac{2\pi}{\lambda} 2 n_2 d \cos \theta_e$$

$$\delta_{\bullet} = \frac{4\pi}{\lambda} n_2 d \cos \theta_e$$

→ pro případ • ak $n_1 < n_2$ je nutné započítat fázový posun při odraze:

$$\delta_{\bullet} = \frac{4\pi}{\lambda} n_2 d \cos \theta_e + \pi$$

Nekolineární vlnové vektory



$$|k_1| = |k_2| = k$$

$$\vec{k}_1 = k (\sin \psi, 0, \cos \psi) = (k_x, 0, k_z)$$

$$\vec{k}_2 = k (-\sin \psi, 0, \cos \psi) = (-k_x, 0, k_z)$$

• necht' je E_1, E_2 v směru y

$$E_{y1} = E_0 e^{i(\vec{k}_1 \cdot \vec{r} - \omega t)} = E_0 e^{i(k_z z - \omega t)} e^{i(k_x x + \frac{\delta_0}{2})}$$

$$E_{y2} = E_0 e^{i(k_2 \cdot \vec{r} - \omega t)} = E_0 e^{i(k_2 z - \omega t)} e^{-i(k_x x + \frac{\delta_0}{2})}$$

$$E_y = E_{y1} + E_{y2} = E_0 e^{i(k_2 z - \omega t)} \left(e^{i(k_x x + \frac{\delta_0}{2})} + e^{-i(k_x x + \frac{\delta_0}{2})} \right) =$$

$$= E_0 e^{i(k_2 z - \omega t)} 2 \cos(k_x x + \frac{\delta_0}{2})$$

$$I = \frac{1}{2} \epsilon_0 n^2 E_0^2 4 \cdot \cos^2(k_x x + \frac{\delta_0}{2}) = 4 I_0 (1 + \cos(2k_x x + \delta_0)) =$$

$$= 4 I_0 (1 + \cos(\frac{4\pi}{\lambda_0} \sin \vartheta x + \delta_0))$$

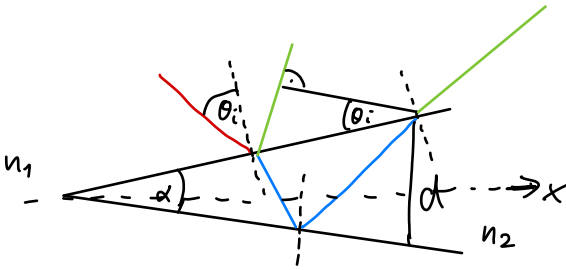
• maximum:

$$\frac{4\pi}{\lambda_0} \sin \vartheta x_{\max} + \delta_0 = 2m\pi$$

• minimum

$$\frac{4\pi}{\lambda_0} \sin \vartheta x_{\min} + \delta_0 = (2m+1)\pi$$

Interferenční provázky



• použijeme aproximaci

$$\text{tedy } d \approx d = \frac{d}{x}$$

→ potom můžeme použít vztah pro plané paralelní destičky:

$$2nd \cos \theta_e = \lambda m \quad \rightarrow \min \Rightarrow x_{\min} = \frac{\lambda m}{2nd} \cos \theta_e$$

$$2nd \cos \theta_e = \lambda (m + \frac{1}{2}) \quad \rightarrow \max \Rightarrow x_{\max} = \frac{\lambda (m + \frac{1}{2})}{2nd} \cos \theta_e$$

Interference mnoha vln

• stejné amplitudy

$$E_m = E_0 e^{i\varphi} e^{im\delta}$$

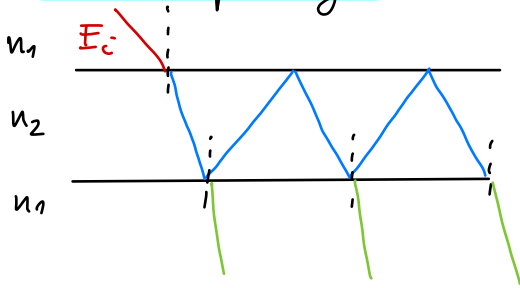
$$E_{\text{tot}} = E_0 e^{i\varphi} \sum_{m=1}^N e^{im\delta} = E_0 e^{i\varphi} \frac{1 - e^{iN\delta}}{1 - e^{i\delta}} =$$

$$|E_{\text{tot}}|^2 = E_0^2 \frac{1 - e^{iN\delta}}{1 - e^{i\delta}} \cdot \frac{1 - e^{-iN\delta}}{1 - e^{-i\delta}} = E_0^2 \frac{2 - 2\cos N\delta}{2 - 2\cos\delta} =$$

$$= E_0^2 \frac{1 - \cos N\delta}{1 - \cos\delta} = E_0^2 \frac{\sin^2(\frac{N\delta}{2})}{\sin^2(\frac{\delta}{2})}$$

$$\Rightarrow I = N^2 I_0 \frac{\sin^2(\frac{N\delta}{2})}{N^2 \sin^2 \frac{\delta}{2}}$$

• různé amplitudy



δ je dané
prejdenou
vzdáleností

$$E_{0,t} = t_{12} t_{21} e^{i\frac{\delta}{2}} E_i$$

$$E_{1,t} = t_{21} r_{21} r_{21} t_{12} e^{i\frac{\delta}{2}} e^{i\delta} E_i$$

$$E_{2,t} = t_{21} (r_{21} r_{21})^2 t_{12} e^{i\frac{\delta}{2}} e^{i2\delta} E_i$$

$$\vdots$$

$$E_{l,t} = t_{21} r_{21}^{2l} t_{12} e^{i\frac{\delta}{2}} e^{il\delta} E_i$$

$$E_{\text{tot}} = \sum_{l=1}^{\infty} E_{l,t} = t_{21} t_{12} e^{i\frac{\delta}{2}} E_i \sum_{l=1}^{\infty} (r_{21}^2 e^{i\delta})^l =$$

$$= t_{21} t_{12} e^{i\frac{\delta}{2}} E_i \frac{1}{1 - r_{21}^2 e^{i\delta}}$$

$$r_{12} = -r_{21} = r$$

$$t_{21} t_{12} = (1+r_{12})(1+r_{21})$$

$$I = \frac{1}{4} \epsilon_0 n_1^2 E_{\text{tot}} E_{\text{tot}}^* = \frac{1}{4} \epsilon_0 n_1^2 E_0^2 \underbrace{(t_{21} t_{12})^2}_{(1-r^2)^2} \frac{1}{1+r^4 - 2r^2 \cos\delta}$$

$$= I_0 \frac{(1-r^2)^2}{(1-r^2)^2 + 2r^2(1-\cos\delta)} = I_0 \frac{1}{1 + \frac{2r^2}{(1-r^2)^2} (1-\cos\delta)} = I_0 \frac{1}{1 + \frac{4r^2}{(1+r^2)^2} \sin^2 \frac{\delta}{2}}$$

$$= \frac{I_0}{1 + F \sin^2 \frac{\delta}{2}}$$

$$F = \frac{4r^2}{(1-r^2)^2} = \frac{4R}{(1-R)^2} \quad \dots \text{ je množte}$$

Interference 2

polychromaticke' vlny

Dve vlny rôznej frekvencie

$$E_1 = E_0 \cos(k_1 z - \omega_1 t)$$

$$E_2 = E_0 \cos(k_2 z - \omega_2 t)$$

$$E = E_1 + E_2 = E_0 \left(\cos(k_1 z - \omega_1 t) + \cos(k_2 z - \omega_2 t) \right) = \\ = E_0 \cos\left(\frac{k_1 + k_2}{2} z - \frac{\omega_1 + \omega_2}{2} t\right) \cos\left(\frac{k_1 - k_2}{2} z - \frac{\omega_1 - \omega_2}{2} t\right)$$

$$\bar{\omega} = \frac{\omega_1 + \omega_2}{2} \quad \bar{k} = \frac{k_1 + k_2}{2}$$

$$\delta k = \frac{k_1 - k_2}{2} = \frac{\Delta k}{2} \quad \delta \omega = \frac{\omega_1 - \omega_2}{2} = \frac{\Delta \omega}{2}$$

$$E = E_0 \cos(\bar{k} z - \bar{\omega} t) \cos(\delta k z - \delta \omega t)$$

• pre $\delta k \ll \bar{k}$, $\delta \omega \ll \bar{\omega}$ je druhá časť modulačná

Grupová a fázová rýchlosť

$$V_g = \frac{\delta \omega}{\delta k} \rightarrow \frac{d\omega}{dk} \Big|_{\bar{k}} \quad - \text{grupová rýchlosť}$$

$$V_f = \frac{\bar{\omega}}{\bar{k}} \quad - \text{fázová rýchlosť}$$

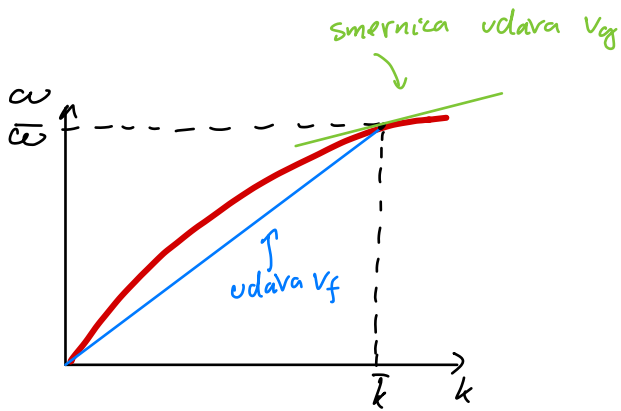
• pre vákum: $c = \frac{\omega_1}{k_1} = \frac{\omega_2}{k_2} \Rightarrow V_g = \frac{\omega_1 - \omega_2}{k_1 - k_2} = c \frac{\omega_1 - \omega_2}{\omega_1 - \omega_2} = c = V_f$

• disperzné prostredie

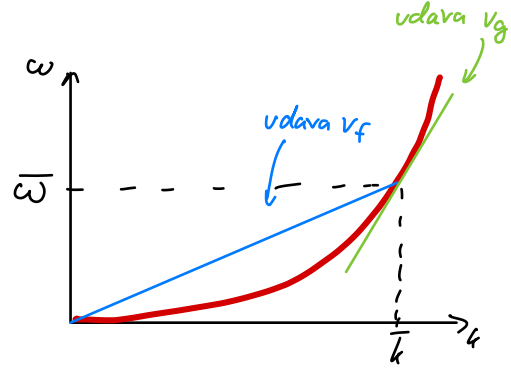
$$k(\omega) = \frac{\omega}{c} n(\omega)$$

$$V_g = \frac{d\omega}{dk} = \left(\frac{dk}{d\omega} \right)^{-1} = \left(\frac{n(\omega)}{c} + \frac{\omega n'(\omega)}{c} \right)^{-1} = \frac{\frac{c}{n(\omega)}}{1 + \omega \frac{n'(\omega)}{n(\omega)}}$$

$$V_g = \frac{V_f}{1 + \omega \frac{n'(\omega)}{n(\omega)}}$$



$V_f > V_g \rightarrow$ normalna disperzia



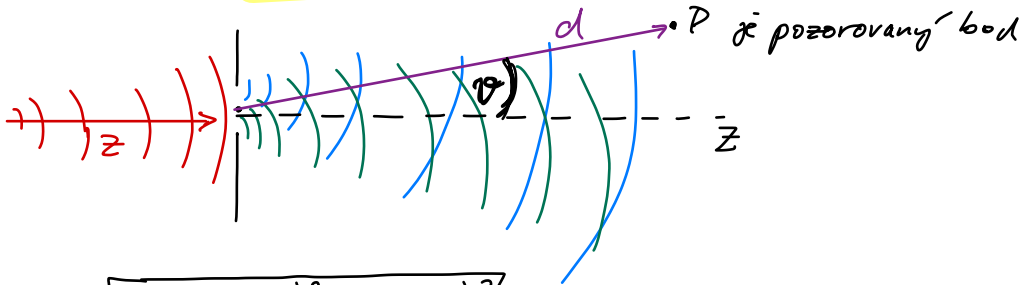
$V_f < V_g \rightarrow$ abnormalna dis.

Difrakce

- najjednoduchší případ - skalární aproximace

Difrakčný integrál

$$E(x, y, z) = -\frac{c}{\lambda} \int_{\text{aparatura}} E(X, Y, 0) \frac{e^{ikd}}{d} \mathcal{K}(\vartheta) dX dY$$



$$d = \sqrt{z^2 + (x-X)^2 + (y-Y)^2} \rightarrow \text{vzdialenosť}$$

$\mathcal{K}(\vartheta)$ je uholový faktor, budeme predpokladať $\mathcal{K}(\vartheta) \approx 1$

Fresnelova aproximace

$$d = z \sqrt{1 + \frac{(x-X)^2 + (y-Y)^2}{z^2}} \approx z + \frac{(x-X)^2 + (y-Y)^2}{2z}$$

→ predpokladáme veľké vzdialenosti od apertúry, teda $(x-X)^2 + (y-Y)^2 \ll z^2$

$$E(x, y, z) = -\frac{c}{\lambda} \int E(X, Y, 0) \frac{e^{ikz}}{z} e^{ik \frac{(x-X)^2}{2z}} e^{ik \frac{(y-Y)^2}{2z}} dX dY$$
$$= -\frac{c}{\lambda} \frac{e^{ikz}}{z} e^{\frac{ik(x^2+y^2)}{2z}} \int E(X, Y, 0) e^{\frac{ik(X^2+Y^2)}{2z}} e^{-\frac{ik(Xx+Yy)}{z}} dX dY$$

- malé otvory
- veľká vzdialenosť

Fraunhoferova aproximace

- zanedbanie členu $e^{ik \frac{(x^2+y^2)}{2z}}$:

$$E(x, y, z) = -\frac{c}{\lambda} \frac{e^{ikz}}{z} e^{ik \frac{(x^2+y^2)}{2z}} \int E(x', y', 0) e^{-\frac{ik(x'x+y'y)}{z}} dx' dy'$$

→ platí pre $e^{ik \frac{(x^2+y^2)}{2z}} \approx 1 \rightarrow 2z \gg k(x^2+y^2)$

- otvor aproximujeme kruhom $x^2+y^2 = \left(\frac{D}{2}\right)^2$, D je max. rozmer otvoru:

$$z \gg z_{MEz} \approx k \frac{D^2}{8}$$

Intenzita na priamke kruhového otvoru

$$E(0, 0, z) = -\frac{c}{\lambda} \int_{knh} E_0 \frac{e^{ikr}}{r} dS = -\frac{c}{\lambda} E_0 \int \frac{e^{ik\sqrt{x^2+y^2+z^2}}}{\sqrt{x^2+y^2+z^2}} dx dy$$

$$= \left| X = \int_0^{2\pi} \int_0^{D/2} \frac{e^{ik\sqrt{g^2+z^2}}}{\sqrt{g^2+z^2}} g dg d\varphi = -\frac{c}{\lambda} E_0 \int_0^{2\pi} \int_0^{D/2} \frac{e^{ik\sqrt{g^2+z^2}}}{\sqrt{g^2+z^2}} g dg d\varphi = \right.$$

$$\left. = \left| \xi = \sqrt{g^2+z^2} \right. \right| = -\frac{c}{\lambda} E_0 \int_0^{2\pi} \int_z^{\sqrt{\frac{D^2}{4}+z^2}} e^{ik\xi} d\xi d\varphi =$$

$$= -\frac{c}{\lambda} E_0 2\pi \left[\frac{e^{ik\xi}}{ik} \right]_z^{\sqrt{\frac{D^2}{4}+z^2}} = E_0 \left(e^{ikz} - e^{ik\sqrt{\frac{D^2}{4}+z^2}} \right)$$

$$\Rightarrow I \sim |E|^2 = 2E_0^2 \left(1 - \cos \left(k \left[z - \sqrt{\frac{D^2}{4} + z^2} \right] \right) \right)$$

- Fraunhoferova aproximace:

$$E(0, 0, z) = -\frac{c}{\lambda} \frac{e^{ikz}}{z} \int_{knh} E_0 dx dy = -\frac{c}{\lambda} \frac{e^{ikz}}{z} E_0 \pi \frac{D^2}{4} \Rightarrow I = \frac{E_0^2 \pi^2 D^4}{16 \lambda^2 z^2}$$

Babinetov princip

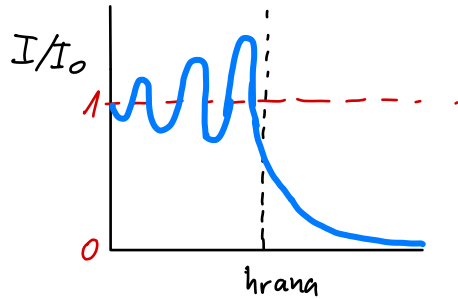
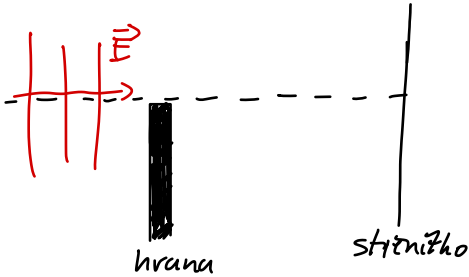
$$E_{\text{prekážka}} + E_{\text{otvor}} = E_{\text{bez prekážky}}$$

$$E_{\text{kvadr. diera}} = E_{\text{bez prekážky}} - E_{\text{otvor}} = E_0 e^{ikz} - E_0 (e^{ikz} - e^{ik\sqrt{\frac{D^2}{4} + z^2}})$$

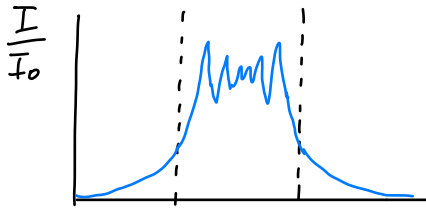
$$= E_0 e^{ik\sqrt{\frac{D^2}{4} + z^2}}$$

$$\rightarrow I(q, z) = |E_{\text{kvadr. diera}}|^2 = E_0^2 \Rightarrow \text{Poissonova skvrna}$$

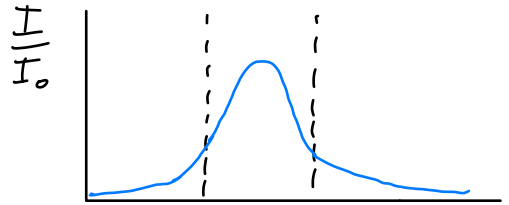
Difrakce na hrane (Fresnel)



Difrakce na štrbine

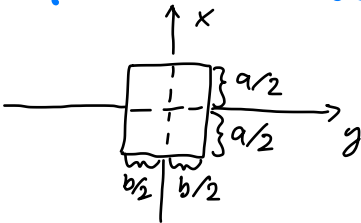


Fresnelova app.



Fraunhoff. app.

Difrakce na obdelníku (Fraunhof)



$$E(k_x, y, z) = -\frac{c}{\lambda} \frac{e^{ikz}}{z} e^{ik\frac{(x^2+y^2)}{2z}} E_0 \int_{\text{obdelník}} e^{ik\frac{(xX+yY)}{z}} dx dy$$

$$= -\frac{i}{\lambda} \frac{e^{ikz}}{z} e^{ik \frac{(x^2+y^2)}{2z}} E_0 \int_{-\frac{a}{2}}^{\frac{a}{2}} e^{\frac{ikx}{z}} x dx \int_{-\frac{b}{2}}^{\frac{b}{2}} e^{\frac{iky}{z}} y dy -$$

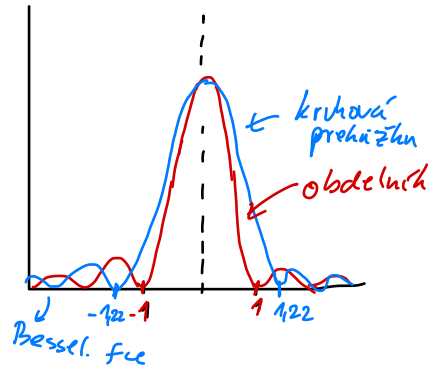
$$\int_{-\frac{a}{2}}^{\frac{a}{2}} e^{\frac{ikx}{z}} x dx = \left[\frac{e^{\frac{ikx}{z}} x}{\frac{ik}{z}} \right]_{-\frac{a}{2}}^{\frac{a}{2}} = \frac{z}{ik} 2i \sin\left(\frac{akx}{2z}\right) = a \frac{\sin m}{m}$$

$m = \frac{akx}{2z}$

→ analogicky, aj $\int_{-\frac{b}{2}}^{\frac{b}{2}} e^{\frac{iky}{z}} y dy = b \frac{\sin v}{v}$ $v = \frac{bky}{2z}$

$$E = -\frac{i}{\lambda} \frac{e^{ikz}}{z} e^{ik \frac{(x^2+y^2)}{2z}} E_0 \left(b \frac{\sin v}{v} \right) \left(a \frac{\sin m}{m} \right)$$

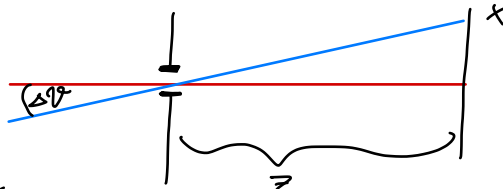
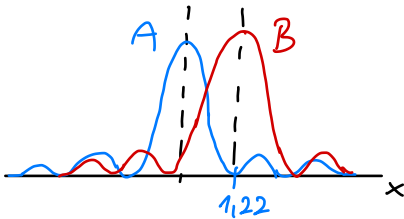
$$I \sim EE^* = \left(\frac{E_0}{\lambda z} ab \right)^2 \frac{\sin^2 v}{v^2} \frac{\sin^2 m}{m^2}$$



- prvé minimum
 - 1) obdelníkovej apertúry v 1
 - 2) kruhovej apertúry v 1,22

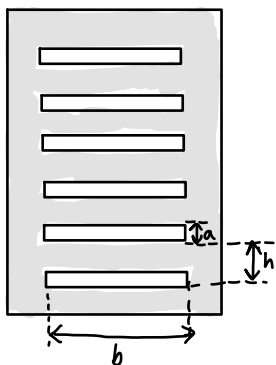
Rayleighovo kritérium

- kritérium pre schopnosť rozlíšenia dvoch bodov
- stanoví uhol, pod kt. sa dajú rozlíšiť 2 body A, B
- A, B sa dajú rozlíšiť, ak hlavné max. A je škodné s prvým min B



$$\Delta\theta = \frac{x}{z} = 1,22 \frac{\lambda}{D}$$

Amplitúdová difrakční mřížka



- napíšeme ako súčet vln, kde každá prechádza jedným obdĺžnikom

$$E(x, y, z) = \sum_{n=1}^N E(x - x_n, y - y_n, 0)$$

$$E(x, y, z) = -\frac{c}{\lambda} \frac{e^{ikz}}{z} e^{ik \frac{(x^2 + y^2)}{2z}} \sum_{n=1}^N \int E(x - x_n, y - y_n, 0) e^{-ik \frac{x x_n + y y_n}{z}} dx dx_n$$

urobením substitúcie $x' = x - x_n$, $y' = y - y_n$ môžeme

$$E(x, y, z) = -\frac{c}{\lambda} \frac{e^{ikz}}{z} e^{ik \frac{(x^2 + y^2)}{2z}} \sum_{n=1}^N e^{-ik \left(\frac{x x_n + y y_n}{z} \right)} \int E(x', y', 0) e^{-ik \frac{x x' + y y'}{z}} dx dx'$$

→ čo môžeme napísať ako

$$E = E_0 f_1 \sum_{n=1}^N e^{-ik \frac{x x_n + y y_n}{z}} = E_0 f_1 N F_N$$

$$x_n = \left(n - \frac{N+1}{2} \right) a \quad y_n = 0$$

↳ kde f_1 je daná disperziou na obdĺžniku

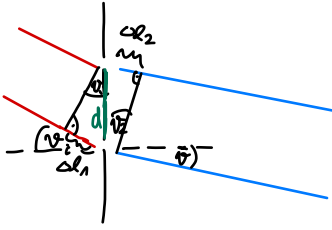
$$\Rightarrow F_N = \frac{1}{N} e^{ik \frac{N+1}{2} \frac{hx}{z}} \sum e^{-ik \frac{nhx}{z}} = \frac{\sin(\mu N)}{N \sin(\mu)} \quad \mu = \frac{hx}{2z}$$

$$\Rightarrow I(x, 0, z) \propto I_0 \left(\frac{\sin N\mu}{N \sin \mu} \right)^2 \left(\frac{\sin v}{v} \right)^2 \left(\frac{\sin u}{u} \right)^2$$

$$u = \frac{ak}{2} \sin \vartheta \quad v = \frac{bk}{2} \sin \varphi$$

ϑ je uhol dopadu a φ uhol pozorovania

Mřížková rovnice

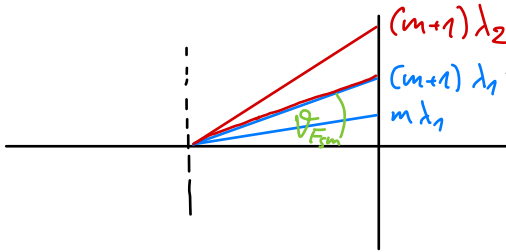


$$\delta = k(\Delta l_2 - \Delta l_1) = \frac{2\pi}{\lambda}(d \sin \theta - d \sin \theta_i)$$

- maxima: $m\lambda = d(\sin \theta - \sin \theta_i)$
- minima: $(m + \frac{1}{2})\lambda = d(\sin \theta - \sin \theta_i)$

• **uhlová disperze.** $D_\theta = \left. \frac{d\theta}{d\lambda} \right|_{\nu_i = \text{konst}} = \frac{m}{d \cos \theta}$

- **volný spektrální interval** - interval uhlových délek $[\lambda_1, \lambda_2]$, pro kt. platí že $\nu_{\lambda_1}^{m+1} < \nu_{\lambda_2}^m$, kde



$$\sin \theta_1 = \frac{(m+1)\lambda_1}{d} \quad \sin \theta_2 = \frac{m\lambda_2}{d}$$

\Rightarrow tedy m-té maximum λ_1 nepřesáhne $m+1$ maximum λ_2

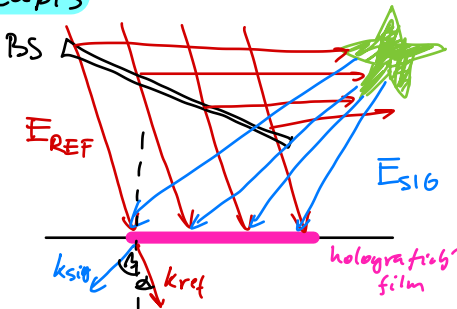
- pre mezduhy chol platí (ted $\nu_{\lambda_1}^{m+1} = \nu_{\lambda_2}^m$):
 $h(\sin \theta_{Fsm} - \sin \theta_i) = m\lambda_2 = (m+1)\lambda_1$

\rightarrow volný interval uhlových délek:

$$F_{sm} = \lambda_2 - \lambda_1 = \frac{\lambda_1}{m}$$

Holografie

- **zápis**



predmet

$$E_{REF} = A_{REF} e^{-i\omega t} e^{-i(x k_{REF} \sin \alpha)}$$

$$E_{SIG} = A_{SIG}(x) e^{-i\omega t} e^{-i(x k_{SIG} \sin \theta(x))}$$

$$I_F(x) = A_{ref}^2 + A_{sig}^2(x) + A_{sig} A_{ref} e^{-i\varphi} e^{i\theta} + A_{sig} A_{ref} e^{i\varphi} e^{-i\theta}$$

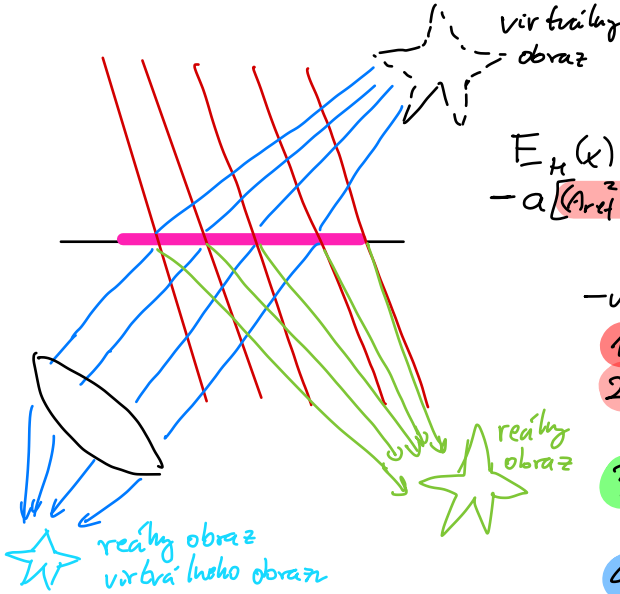
→ holografický film zaznamená intenzitu el. pole

→ pomocí ref. vlny zaznamenáme aj info o fázi sig. vlny

• čtení

$$t(x) = t_0 - a I_P(x) \rightarrow \text{amplitudová propustnost}$$

↳ pre neexpon. film



$$E_H(x) = t(x) E_{\text{ref}} = t_0 E_{\text{ref}} - a [A_{\text{ref}}^2 + A_{\text{sig}}^2] E_{\text{ref}} - A_{\text{ref}}^2 A_{\text{sig}} e^{-i(2\varphi - \theta)} e^{-i\omega t} + A_{\text{ref}} A_{\text{sig}} e^{-i\theta} e^{-i\omega t}$$

→ vo výsledku budú 4 vlny:

1) prochádza zrejmi ref. hologramem

2) ref. vlna, ale amplituda je vyplývajúca hologramem

3) vytvára reálny obraz, ale kde predmet nebol

4) vytvára virtuálny obraz, kde pôvodne bol predmet

↳ pomocou šošovky - reálny predmet

Koherence ^{↗ korelace zariadení}

Popis koherence

→ sledujeme vlastnosti el. pola vlnového balíka, na rôznych miestach \vec{r}_1, \vec{r}_2 a rôznych časoch $t, t+\tau$

→ štatistické vlastnosti el. pola

- kvázi-monochromatické zariadenie: $\omega \in (\bar{\omega} - \Delta\omega, \bar{\omega} + \Delta\omega)$ $\Delta\omega \ll \bar{\omega}$
 \hookrightarrow popíšeme fci: $\vec{E}(\vec{r}; t) = A(t) e^{i(\varphi(t) - \bar{\omega}t)}$

• korelačný funkcie - pro stat. prípad:

$$\Gamma_{12}(\vec{r}_1, \vec{r}_2, \tau) = \langle \vec{E}_1(\vec{r}_1, t+\tau) \vec{E}_2^*(\vec{r}_2, t) \rangle_{t_D} = \frac{1}{t_D} \int_{-\frac{t_D}{2}}^{\frac{t_D}{2}} \vec{E}_1(\vec{r}_1, t+\tau) \vec{E}_2^*(\vec{r}_2, t) dt$$

$$\begin{aligned} I_d(\vec{r}_3) &= \frac{1}{4} \epsilon_0 \epsilon_r \langle (\vec{E}_1 + \vec{E}_2) (\vec{E}_1^* + \vec{E}_2^*) \rangle_{t_D} = \\ &= \underbrace{\frac{1}{4} \epsilon_0 \epsilon_r \langle |\vec{E}_1|^2 \rangle_{t_D}}_{I_1} + \underbrace{\frac{1}{4} \epsilon_0 \epsilon_r \langle |\vec{E}_2|^2 \rangle_{t_D}}_{I_2} + \underbrace{\frac{1}{4} \epsilon_0 \epsilon_r \langle \vec{E}_1 \vec{E}_2^* + \vec{E}_2 \vec{E}_1^* \rangle_{t_D}}_{2 \operatorname{Re}\{\Gamma_{12}(\tau)\}} \end{aligned}$$

$$\begin{aligned} I_d(\vec{r}_3) &= I_1 + I_2 + \frac{1}{4} \epsilon_0 \epsilon_r 2 \operatorname{Re}\{\Gamma_{12}(\tau)\} = \\ &= I_1 + I_2 + 2\sqrt{I_1 I_2} \operatorname{Re}\{\gamma_{12}(\tau)\} \end{aligned}$$

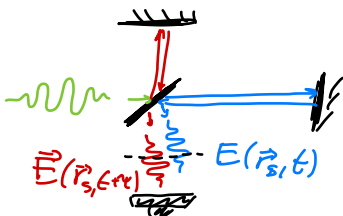
$$\gamma_{12}(\vec{r}_1, \vec{r}_2, \tau) = \frac{\Gamma_{12}(\vec{r}_1, \vec{r}_2, \tau)}{\sqrt{\Gamma_{11}(0) \Gamma_{22}(0)}} \rightarrow \text{komplexný stupeň koherence}$$

Časová koherence

• jedno miesto, ale rôzne časy: $\vec{r}_1 = \vec{r}_2 = \vec{r}_3$, $t, t+\tau$

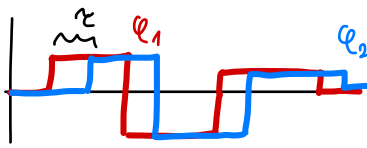
• použijeme Michel. interfer.

\hookrightarrow kde $\tau = \frac{d_2 - d_1}{c}$ je časový posun



$$\gamma(\tau) = \frac{\Gamma_{12}(\tau)}{\sqrt{\Gamma(0) \Gamma(0)}}$$

• skokový model



→ máme jednu vlnu, kt. sa skokovo mení fáza a pošleme do IF aby sme dostali dve poznamky o $\tau = \frac{d_2 - d_1}{c}$

$$\begin{aligned} \Gamma(\tau) &= \langle E(\vec{r}, t + \tau) E^*(\vec{r}, t) \rangle_{t_0} = \langle E_0^2 e^{-i\omega_0 \tau} e^{i(\varphi_1 - \varphi_2)} \rangle = \\ &= \frac{E_0^2 e^{-i\omega_0 \tau}}{N t_0} \left(\int_0^{t_0 - \tau} e^{i0} dt + \int_{t_0 - \tau}^{t_0} e^{iH_1} + \int_{t_0}^{2t_0 - \tau} e^{i0} \dots \right) = \\ &= \frac{E_0^2 e^{-i\omega_0 \tau}}{N t_0} \left(N(t_0 - \tau) + \tau \sum_{n=1}^N e^{iH_n} \right) \end{aligned}$$

H_n náhodné $\Rightarrow e^{iH_n} = 0$

$$\Gamma(\tau) = E_0^2 e^{-i\omega_0 \tau} \left(1 - \frac{\tau}{t_0} \right)$$

$$\gamma(\tau) = e^{-i\omega_0 \tau} \left(1 - \frac{\tau}{t_0} \right)$$

$$I = 2I_0 \left(1 + \cos(\omega_0 \tau) \left(1 - \frac{\tau}{t_0} \right) \right)$$

$$I_{\max} = 2I_0 \left(2 - \frac{\tau}{t_0} \right) \quad I_{\min} = 2I_0 \left(\frac{\tau}{t_0} \right)$$

$$V = \frac{I_{\max} - I_{\min}}{I_{\max} + I_{\min}} = \left(1 - \frac{\tau}{t_0} \right) = |\gamma(\tau)|$$

Prostorová koherencia

- popisuje koreláciu v jednom čase t_1 ale na rôznych miestach \vec{r}_1, \vec{r}_2
- Youngov pokus

- sledujeme porovnanie vlny v bodoch X_1, X_2 interferenciou na Youngovy

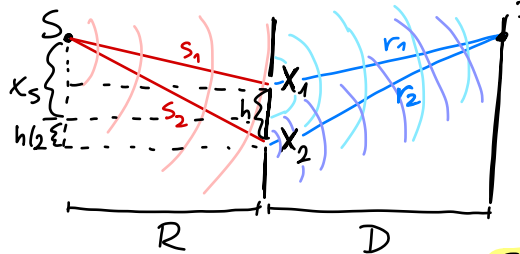
↳ dané časovými rozdielmi
 $\tau_s = \frac{s_2 - s_1}{c} \quad \tau_0 = \frac{d_2 - d_1}{c}$

$$s_1 = \sqrt{D^2 + \left(x_s - \frac{h}{2}\right)^2} \approx D \left(1 + \frac{x_s^2 - hx_s + h^2}{2D} \right)$$

$$s_2 = \sqrt{D^2 + \left(x_s + \frac{h}{2}\right)^2} \approx D \left(1 + \frac{x_s^2 + hx_s + h^2}{2D} \right)$$

$$s_2 - s_1 = \frac{hx_s}{D}$$

$$\hookrightarrow \text{analogicky } d_2 - d_1 = \frac{h x_P}{R}$$

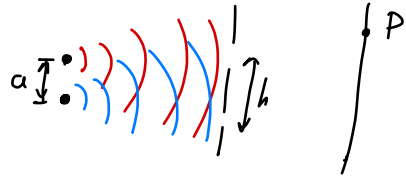


- jeden bod

$$I \propto E_0^2 (1 + \cos(k(d_2 - d_1))) = E_0^2 (1 + \cos(\omega \tau_D))$$

- dva body ↙ vzdálenost mezi body

$$V = \left| \cos\left(\frac{ka h}{2R}\right) \right|$$

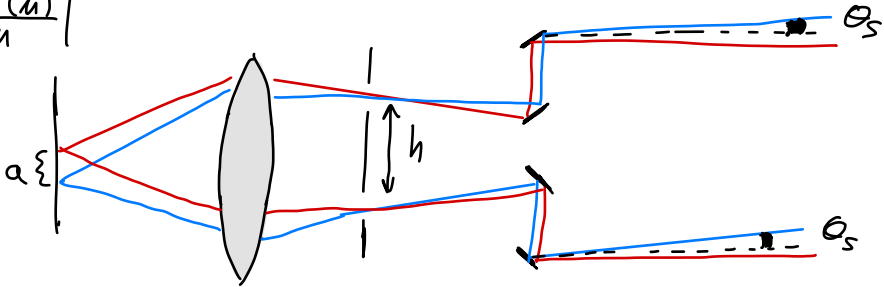


- úsečka bodových zdrojů

$$V = \frac{\sin\left(\frac{ka h}{2R}\right)}{\frac{ka h}{2R}} = \frac{\sin u}{u}$$

- kruhový zdroj - Michel. stelární IF

$$V = \left| \frac{2J_1(u)}{u} \right|$$



Geometrická optika

Eikonal

- předpokládáme velikosti objektů $\gg \lambda$
 $\vec{k} \cdot \vec{r} = k_0 n \vec{s}_0 \cdot \vec{r} = k_0 n$, kde $d = \vec{s}_0 \cdot \vec{r}$ je optická dráha
- popis v nehomogenném prostředí $\Rightarrow \epsilon = \epsilon(\vec{r})$, $n = n(\vec{r})$
 \hookrightarrow obecná el. vlna nebude čisto rovinná:

$$\begin{aligned} \vec{E}(\vec{r}, t) &= \vec{E}_0(\vec{r}) e^{ik_0 \psi(\vec{r})} e^{-i\omega t} \\ \vec{B}(\vec{r}, t) &= \vec{B}_0(\vec{r}) e^{ik_0 \psi(\vec{r})} e^{-i\omega t} \end{aligned} \quad \psi(\vec{r}) \text{ je eikonal}$$

Eikonalová rovnice

$$\begin{aligned} \nabla \cdot \vec{D} &= 0 \quad \vec{D} = \epsilon(\vec{r}) \vec{E} \rightarrow \\ \nabla \cdot \vec{D} &= \nabla \cdot (\epsilon(\vec{r}) \vec{E}) = \epsilon(\vec{r}) \nabla \cdot \vec{E}_0 + ik_0 \epsilon(\vec{r}) \vec{E}_0 \cdot \nabla \psi(\vec{r}) + \vec{E}_0 \cdot \nabla \epsilon(\vec{r}) = 0 \end{aligned}$$

$$\nabla \cdot \vec{B} = 0 \rightarrow \nabla \cdot \vec{B}_0(\vec{r}) + ik_0 \vec{B}_0 \cdot \nabla \psi(\vec{r}) = 0$$

$$\nabla \times \vec{E} = \epsilon(\vec{r}) \nabla \times \vec{E}_0 + ik_0 \epsilon(\vec{r}) \nabla \psi(\vec{r}) \times \vec{E}_0 = -\frac{\partial \vec{B}}{\partial t} = -i\omega \vec{B}_0$$

$$\nabla \times \vec{H} = \frac{1}{\mu_0} \nabla \times \vec{B}_0 + ik_0 \frac{1}{\mu_0} \nabla \psi(\vec{r}) \times \vec{B}_0 = -i\omega \epsilon(\vec{r}) \vec{E}_0$$

- předpokládáme $\lambda_0 \rightarrow 0$, tedy $k_0 = \frac{2\pi}{\lambda_0} \rightarrow \infty$ a domění se členy

$$\vec{E}_0 \cdot \nabla \psi(\vec{r}) = 0$$

$$\vec{B}_0 \cdot \nabla \psi(\vec{r}) = 0$$

$$\vec{B}_0 = \frac{k_0}{\omega} \nabla \psi(\vec{r}) \times \vec{E}_0$$

$$\vec{E}_0 = \frac{k_0}{\omega \epsilon} \nabla \psi(\vec{r}) \times \vec{B}_0$$

$$\vec{E}_0 = -\frac{k_0^2}{\omega^2 \epsilon \mu_0} \nabla \psi \times \nabla \psi \times \vec{E}_0 = -\frac{1}{n^2} (\nabla \psi (\nabla \psi \cdot \vec{E}_0) - \vec{E}_0 (\nabla \psi \cdot \nabla \psi))$$

$$n^2 \vec{E}_0 = \vec{E}_0 (\nabla \psi)^2 \Rightarrow (\nabla \psi)^2 = n^2 \Rightarrow \nabla \psi = n \vec{s}_0 \quad \rightarrow \text{eikonalová rovnice}$$

Paprsková rovnice

- **paprsek** = parametrická křivka, kterou je $\vec{s}_0(\vec{r})$ tečna
↳ její param. vyjádření $\vec{r}(s)$, kde s je param.
→ potom platí: $\frac{d\vec{r}(s)}{ds} = \vec{s}_0(\vec{r})$

→ teda z eikonál. rov: $\nabla\varphi = n(\vec{r})\vec{s}_0 = n(\vec{r})\frac{d\vec{r}}{ds}$
→ zderivujeme:

$$\frac{d}{ds} [n(\vec{r}(s)) \vec{s}_0(\vec{r}(s))] = \nabla n(\vec{r})$$

Lagrangeov invariánť

$$\nabla\varphi = n(\vec{r}) \cdot \vec{s}_0(\vec{r}) \rightarrow \nabla_x \nabla\varphi = 0 = \nabla_x (n(\vec{r}) \cdot \vec{s}_0(\vec{r}))$$

$$\Rightarrow 0 = \int \nabla_x (n(\vec{r}) \cdot \vec{s}_0(\vec{r})) \cdot d\vec{S} = \oint_{\mathcal{L}} n(\vec{r}) \vec{s}_0(\vec{r}) \cdot d\vec{\ell} = 0$$

$$\oint_{\mathcal{L}} n(\vec{r}) \vec{s}_0(\vec{r}) \cdot d\vec{\ell} = 0 \rightarrow \text{Lag. invariánť}$$

Fermatov princíp

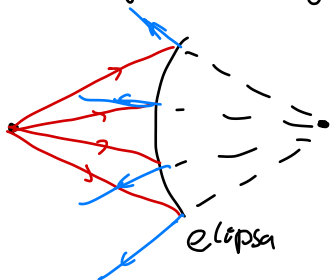
Svetlo sa medzi dvoma bodmi šíri po najkratšej optickej dráhe.

$$T = \int_A^B dt = \int_A^B \frac{ds}{v(\vec{r})} = \int_A^B \frac{n(\vec{r})}{c} ds$$

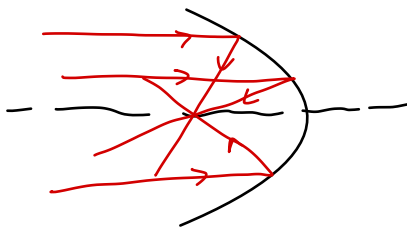
↳ čas musí byť najkratší: $\delta T = \delta \int_A^B n(\vec{r}) ds = 0$

Descartovy plochy

-srozdelyt rovnu aby fokusovali



paprsky parabola



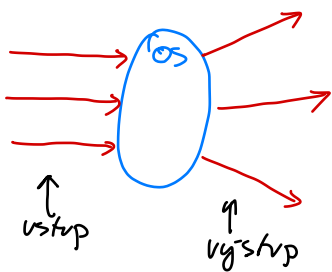
Paraxiálna optika

• predpokladáme:

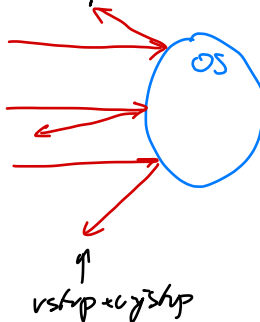
- 1) platnosť paprskovej rovnice
- 2) zákon odrazu a lomu
- 3) paprsek nezávisí na iných paprskoch
- 4) paprsek nezávisí na veľkosti sily
- 5) lineárne transformácie opt. prístrojov



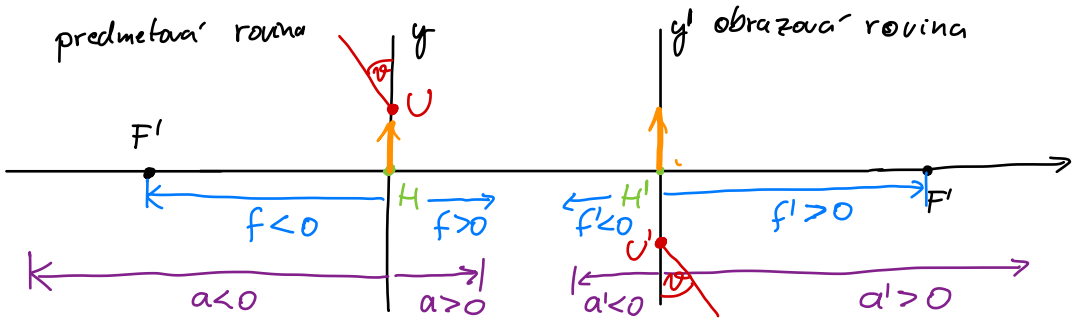
Dioptrická sústava



Katopická sústava



Gaussova zobrazovací rovnice



Kardinálne body:

H, H' ... hlavné body

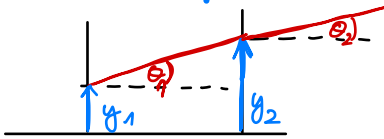
F, F' ... ohniskové body

U, U' ... uzlové body (uhlové zväčšenie konvergovaných prámok je 1)

$$\frac{f}{a} + \frac{f'}{a'} = 1$$

$$\frac{x'}{x} = \frac{y'}{y} = \frac{f}{f-a} = \frac{f'-a'}{f'}$$

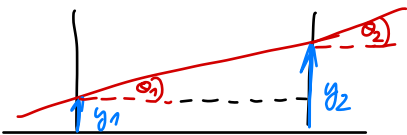
Maticová optika



$$\begin{pmatrix} y_2 \\ \theta_2 \end{pmatrix} = \begin{pmatrix} A & B \\ C & D \end{pmatrix} \begin{pmatrix} y_1 \\ \theta_1 \end{pmatrix}$$

prenosová
matrica daná OS

• šírenie medzi rovinami

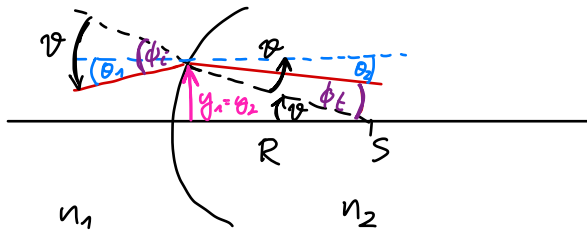


$$\theta_1 = \theta_2$$

$$y_2 = y_1 - \tan \theta_1 d \approx y_1 - \theta_1 d$$

$$\rightarrow \begin{pmatrix} y_2 \\ \theta_2 \end{pmatrix} = \begin{pmatrix} 1 & -d \\ 0 & 1 \end{pmatrix} \begin{pmatrix} y_1 \\ \theta_1 \end{pmatrix}$$

• lom na kulovej ploche



$$n_1 \phi_c = n_2 \phi_e$$

$$\sin \theta = \frac{y_1}{R} \approx \theta$$

$$\theta = \theta_1 + \phi_c$$

$$\frac{y_1}{R} = \theta_1 + \phi_c$$

$$\Rightarrow \frac{y_1}{R} = \theta_2 + \frac{n_1}{n_2} (\frac{y_1}{R} - \theta_1)$$

$$\theta = \theta_2 + \phi_e$$

$$\frac{y_1}{R} = \theta_2 + \frac{n_1}{n_2} \phi_c$$

$$\Rightarrow \theta_2 = \left(1 - \frac{n_1}{n_2}\right) \frac{y_1}{R} + \frac{n_1}{n_2} \theta_1 \Rightarrow \begin{pmatrix} y_2 \\ \theta_2 \end{pmatrix} = \begin{pmatrix} 1 & 0 \\ \left(1 - \frac{n_1}{n_2}\right) \frac{1}{R} & \frac{n_1}{n_2} \end{pmatrix} \begin{pmatrix} y_1 \\ \theta_1 \end{pmatrix}$$

↳ špec. prípad: $\theta_1 = 0$, $\theta_2 = \frac{y}{f}$

$$\Rightarrow \frac{1}{f'} = \left(1 - \frac{n_1}{n_2}\right) \frac{1}{R} \Rightarrow T = \begin{pmatrix} 1 & 0 \\ \frac{1}{f'} & \frac{n_1}{n_2} \end{pmatrix}$$

• gaussova zob. rovnica

$$T = \underbrace{\begin{pmatrix} 1 & -a' \\ 0 & 1 \end{pmatrix}}_{\text{prenos 1}} \underbrace{\begin{pmatrix} 1 & 0 \\ \frac{1}{f'} & \frac{n_1}{n_2} \end{pmatrix}}_{\text{lom}} \underbrace{\begin{pmatrix} 1 & -a \\ 0 & 1 \end{pmatrix}}_{\text{prenos 2}} = \begin{pmatrix} 1 & -a' \\ 0 & 1 \end{pmatrix} \begin{pmatrix} 1 & -a \\ \frac{1}{f'} & -\frac{a}{f'} + \frac{n_1}{n_2} \end{pmatrix} =$$

$$= \begin{pmatrix} 1 - \frac{1}{f'} & -a + \frac{aa'}{f'} - a' \frac{n_1}{n_2} \\ \frac{1}{f'} & -\frac{a}{f'} + \frac{n_1}{n_2} \end{pmatrix}$$

→ podmienku je aby sa paprsky setkali $\Rightarrow y_2$ nesmie závisieť na θ_1

$$\Rightarrow -a + \frac{aa'}{f'} - a' \frac{n_1}{n_2} = 0 \rightarrow a = a' \left(\frac{a}{f'} - \frac{n_1}{n_2} \right) = a' \left(\frac{a}{f'} - \frac{f}{f'} \right)$$

$$\Rightarrow af' = a'(a - f) \Rightarrow \frac{a-f}{a} = \frac{f'}{a'} \rightarrow 1 - \frac{f}{a} = \frac{f'}{a'} \Rightarrow 1 = \frac{f}{a} + \frac{f'}{a'}$$

• tenké čočky

$$T = \begin{pmatrix} 1 & 0 \\ \frac{1}{f_2'} & \frac{n_2}{n_3} \end{pmatrix} \begin{pmatrix} 1 & 0 \\ \frac{1}{f_1'} & \frac{n_1}{n_2} \end{pmatrix} = \begin{pmatrix} 1 & 0 \\ \frac{1}{f_2'} + \frac{1}{f_1'} \frac{n_2}{n_3} & \frac{n_1}{n_3} \end{pmatrix}$$

$$\frac{1}{f_1'} = \left(1 - \frac{n_1}{n_2}\right) \frac{1}{R_1}$$

$$\frac{1}{f_1'} = \frac{1}{f_2'} + \frac{1}{f_1'} \frac{n_2}{n_3}$$

$$\frac{1}{f_2'} = \left(1 - \frac{n_2}{n_3}\right) \frac{1}{R_2}$$

pro $n_1 = n_3 = 1$, $n_2 = n$:

$$\frac{1}{f_1'} = (1-n) \frac{1}{R_2} + (n-1) \frac{1}{R_1} = \left(\frac{1}{R_1} - \frac{1}{R_2}\right) (n-1) = -\frac{1}{f}$$

• odraz na zrcadle

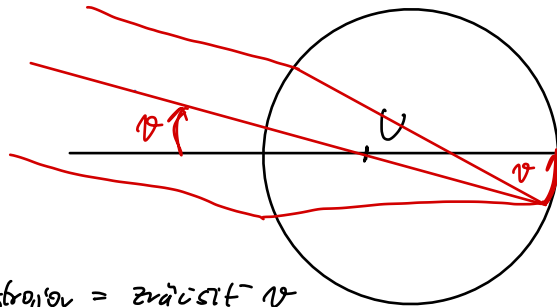
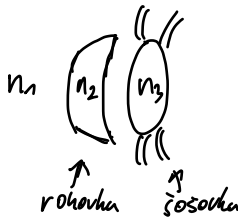
$$\frac{f}{a} + \frac{f'}{a'} = 1 \Rightarrow f = f' = \frac{R}{2} \Rightarrow \frac{1}{a} + \frac{1}{a'} = \frac{2}{R}$$

Zväčšenie

- pričné $M_T = \frac{y'}{y} = A = \frac{f' - a'}{f'} = \frac{f}{f - a}$
- pozdĺžne $M_L = \frac{\Delta a'}{\Delta a}$
- uhlové $M_\theta = \frac{\tan \theta'}{\tan \theta} \approx \frac{\theta'}{\theta} = D$

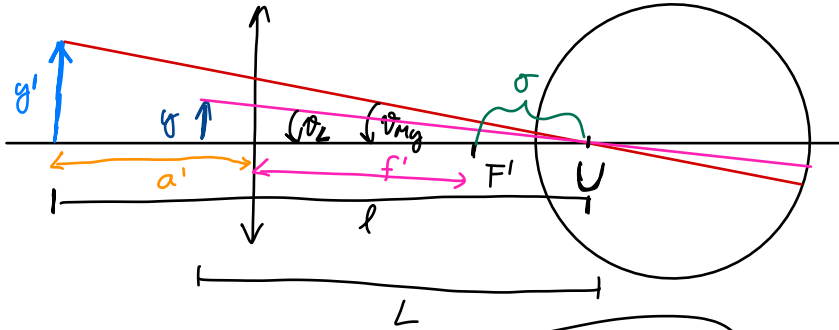
Optické prístroje

Oko



→ pomôcka opt. prístrojov = zväčšenie ν

Lupa



$$f' - a' = -(l + \sigma)$$

$$\frac{y'}{y} = \frac{f' - a'}{f'} = -\frac{l + \sigma}{f'}$$

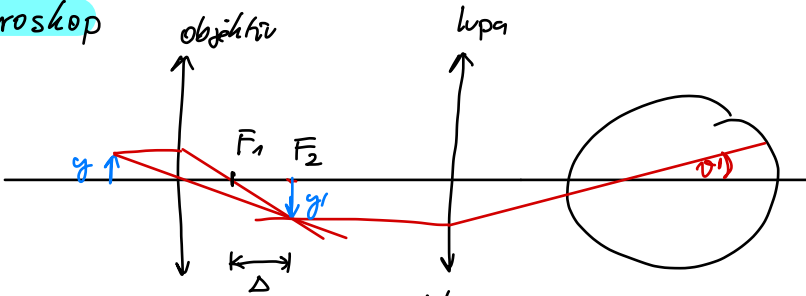
$$\nu_L = -\frac{y}{L}$$

$$\Gamma_{MG} = \frac{\nu_{MG}}{\nu_L} = \frac{-\frac{y'}{L}}{-\frac{y}{L}} = \frac{y'}{y} \frac{L}{L} = -\frac{l + \sigma}{f'} \frac{L}{L} = \frac{L}{f'} \left(1 + \frac{\sigma}{L}\right)$$

↑
zväčšenie

$$\nu_{MG} = -\frac{y'}{l}$$

Mikroskop



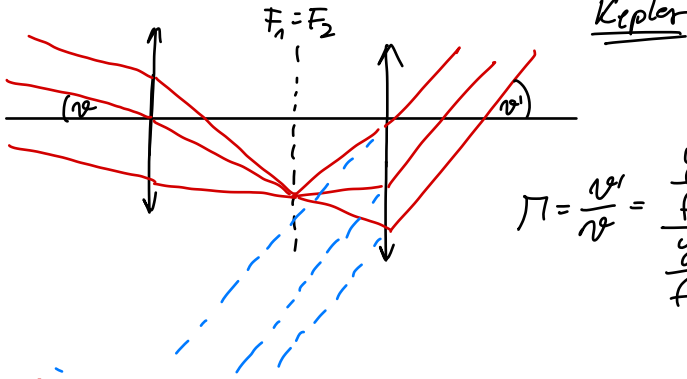
$$\nu_L = -\frac{y}{L}$$

$$\nu' = \frac{y'}{f_2}$$

$$\Gamma = \frac{\frac{y'}{f_2}}{-\frac{y}{L}} = -\frac{y'}{y} \frac{L}{f_2} = -\frac{\Delta}{f_1'} \frac{L}{f_2}$$

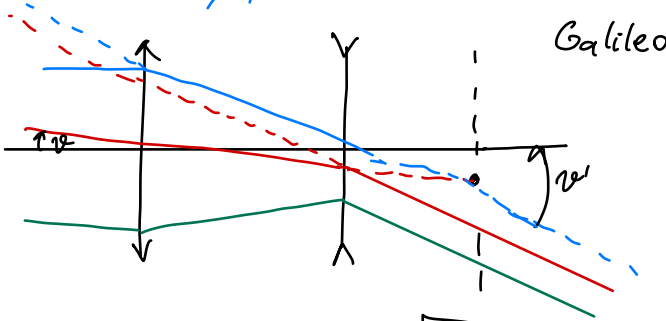
$$\frac{y'}{y} = -\frac{\Delta}{f_1'}$$

Dalekohlad



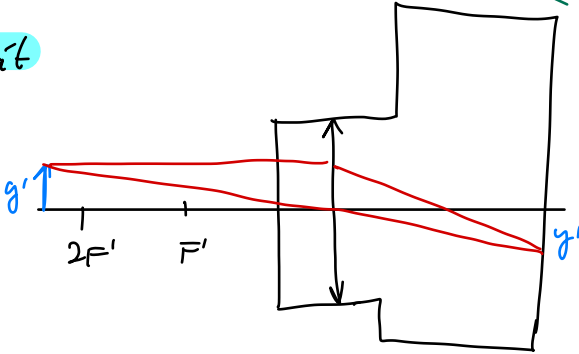
Kepler

$$\Gamma = \frac{\alpha'}{\alpha} = \frac{\frac{y}{f_1}}{\frac{y'}{f_2}} = \frac{f_1'}{f_2}$$



Galileo

Fotoaparát



Anizotropné prostredie

Základný popis

$$\vec{D} = \epsilon_0 \vec{\chi} \vec{E} = \epsilon_0 (1 - \vec{\epsilon}_r) \vec{E}$$

$$\epsilon_r = \begin{pmatrix} n_1^2 & & \\ & n_2^2 & \\ & & n_3^2 \end{pmatrix} \rightarrow \text{predpokladáme} \\ \text{diagonalizovanú maticu}$$

$$\left. \begin{aligned} D_x &= \epsilon_0 n_1^2 E_x = \epsilon_0 n_1^2 E_{0x} e^{i(\vec{k} \cdot \vec{r} - \omega t)} \\ D_y &= \epsilon_0 n_2^2 E_y = \epsilon_0 n_2^2 E_{0y} e^{i(\vec{k} \cdot \vec{r} - \omega t)} \\ D_z &= \epsilon_0 n_3^2 E_z = \epsilon_0 n_3^2 E_{0z} e^{i(\vec{k} \cdot \vec{r} - \omega t)} \end{aligned} \right\} \text{vidíme, že obecné } \vec{D} \neq \vec{E}$$

$$\nabla \cdot \vec{D} = i \vec{k} \cdot \vec{D} = 0 \Rightarrow \vec{k} \perp \vec{D}$$

$$\nabla \cdot \vec{D} = \nabla \cdot (\epsilon_0 \vec{E} + \vec{P}) = i \vec{k} \cdot (\epsilon_0 \vec{E} + \vec{P}) = 0$$

$$\Rightarrow \text{obecné } \vec{k} \cdot \vec{E} \neq 0 \Rightarrow \vec{k} \text{ nemá kolmé na } \vec{E}$$

Fresnelova rovnice

$$\vec{k} \times \vec{H} = -\omega \vec{D} = -\omega \epsilon_0 \vec{\epsilon}_r \vec{E}$$

$$\vec{k} \times \vec{E} = \omega \vec{B} = \omega \mu_0 \vec{H}$$

$$\vec{k} \times \vec{k} \times \vec{E} = -\omega^2 \epsilon_0 \mu_0 \vec{\epsilon}_r \vec{E}$$

$$\vec{k} (\vec{k} \cdot \vec{E}) - k^2 \vec{E} = -\omega^2 c \vec{\epsilon}_r \vec{E}$$

$$k^2 \vec{s}_0 (\vec{s}_0 \cdot \vec{E}) - k^2 \vec{E} = -\omega^2 c \vec{\epsilon}_r \vec{E} \Rightarrow n^2 \vec{s}_0 (\vec{s}_0 \cdot \vec{E}) - n^2 \vec{E} = -\vec{\epsilon}_r \vec{E}$$

$$\Rightarrow (n^2 - n_1^2) E_x = n^2 s_{0x} (\vec{s}_0 \cdot \vec{E}) \quad (*)$$

$$(n^2 - n_2^2) E_y = n^2 s_{0y} (\vec{s}_0 \cdot \vec{E})$$

$$(n^2 - n_3^2) E_z = n^2 s_{0z} (\vec{s}_0 \cdot \vec{E})$$

$$\Rightarrow \frac{S_{0x}^2}{n^2 - n_1^2} + \frac{S_{0y}^2}{n^2 - n_2^2} + \frac{S_{0z}^2}{n^2 - n_3^2} = \frac{1}{n^2} \rightarrow \text{Fresnelova rovnice}$$

↳ alternativní zápis:

$$(n^2 - n_2^2)(n^2 - n_3^2)n^2 S_{0x}^2 + (n^2 - n_1^2)(n^2 - n_3^2)n^2 S_{0y}^2 + (n^2 - n_1^2)(n^2 - n_2^2)n^2 S_{0z}^2 = (n^2 - n_1^2)(n^2 - n_2^2)(n^2 - n_3^2)$$

• n je neznámá, určuje rychlost šíření

↳ obecně může mít více řešení

• pro $n_1 = n_2 \rightarrow$ jednovrstevný materiál, osa z je optická osa

↳ z rovnice dostaneme:

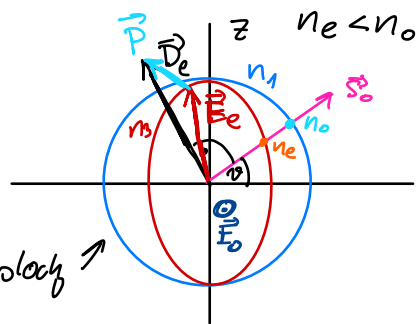
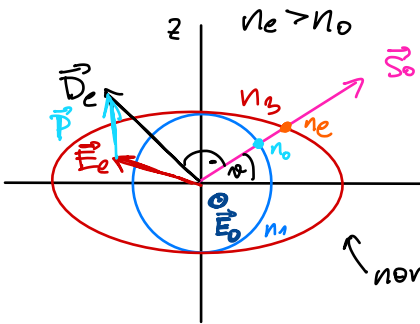
$$(n - n_1^2) \left[-(n^2 - n_1^2)(n^2 - n_3^2) + n^2 \left((n^2 - n_3^2) S_{0x}^2 + (n^2 - n_3^2) S_{0y}^2 + (n - n_1^2) S_{0z}^2 \right) \right] = 0$$

\rightarrow první řešení je $n_0^2 = n_1^2 \rightarrow$ tzv. ordinární vlna

\rightarrow nezávisí na \vec{S}_0

\rightarrow druhé řešení je extraordinární vlna n_e , v rovině $y=0$ dostaneme:

$$\frac{1}{n_e^2} = \frac{\sin^2 \vartheta}{n_3^2} + \frac{\cos^2 \vartheta}{n_1^2} \rightarrow 1 = \frac{x^2}{n_3^2} + \frac{z^2}{n_1^2} \xrightarrow{3D} 1 = \frac{x^2}{n_3^2} + \frac{y^2}{n_3^2} + \frac{z^2}{n_1^2}$$

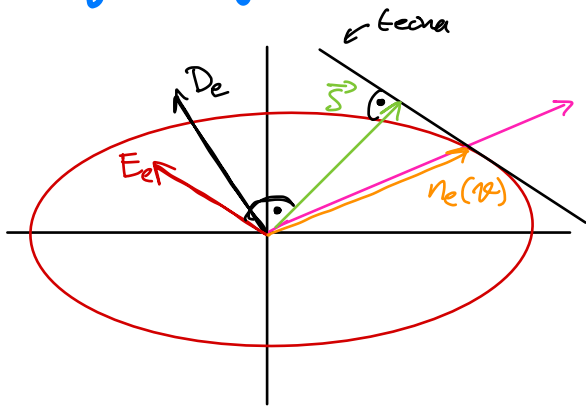


normálové plochy \rightarrow

1) pro $n = n_1 = n_0$ z (*) dostaneme, že $E_z = 0, E_x = 0$, lin. pol.

2) pro $n = n_3 = n_e$ - vlna je lin. polarizovaná

Poyntingov vektor

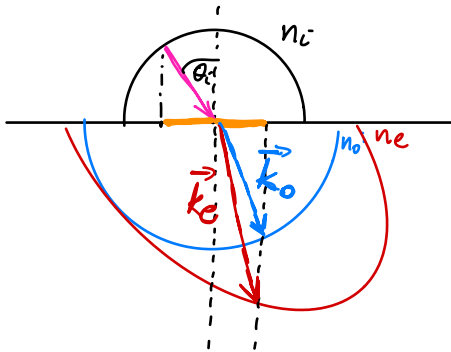


- \vec{S} je tečné na normálu plochy
- $\vec{S} \perp \vec{E}_c$ (z def.)

normála

$$\vec{N} = \left(\frac{2ne \sin \theta}{n_3^2}, 0, \frac{2ne \cos \theta}{n_3} \right)$$

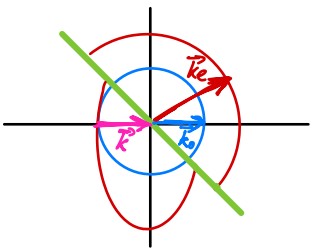
Lom svetla



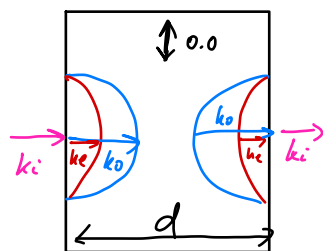
- ráčňna vlna: $n_1 \sin \theta_i = n_0 \sin \theta_{e0}$
- monorádna vlna: $n_1 \sin \theta_i = n_e(\theta_e) \sin \theta_{ee}$

Použitie

Rozchod pol hranol



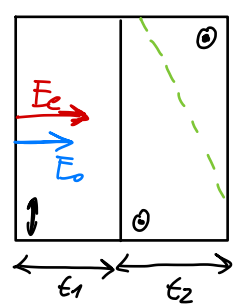
Fázová destička



- posun fáze:

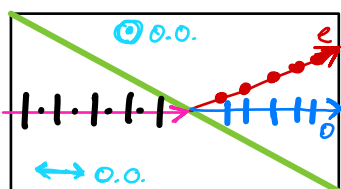
$$\Delta \varphi = \frac{2\pi}{\lambda} d(n_e - n_o)$$

Kompenzátor



- obecný nástroj posun fáze

$$\Delta \varphi = \frac{2\pi}{\lambda} (n_e - n_o)(t_2 - t_1)$$



→ rozdelenie vlny na 2 polariz.

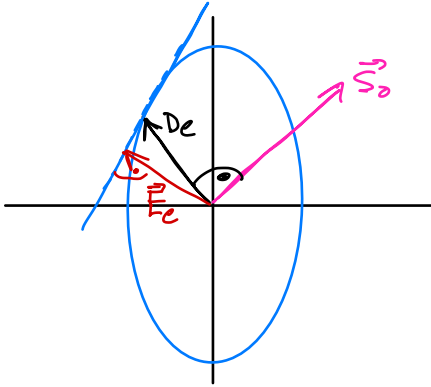
Indikatrix

- alternativny popis, kedy $n = n(\vec{D})$ a nie $n = n(\vec{S}_0)$

$$W_e = \frac{1}{2} \mathbf{E} \cdot \mathbf{D} = \frac{1}{2} (E_x D_x + E_y D_y + E_z D_z) = \frac{1}{2} \left(\frac{D_x^2}{\epsilon_1} + \frac{D_y^2}{\epsilon_2} + \frac{D_z^2}{\epsilon_3} \right)$$

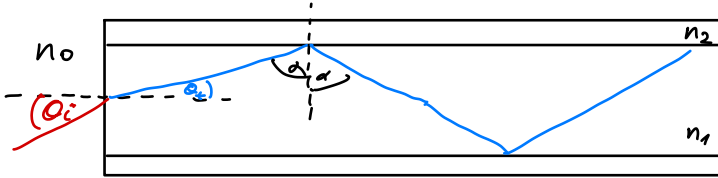
$$\Rightarrow \frac{D_x^2}{n_1^2} + \frac{D_y^2}{n_2^2} + \frac{D_z^2}{n_3^2} = 1, \text{ kde sme normalizovali: } 2W_e \epsilon_0 = 1$$

→ jeden elipsoid dá info o ord. aj extraord. vlne



Vláknová optika

Vedení vlny



→ Totální odraz

• mezní úhel:

$$n_1 \sin \alpha_c = n_2 \rightarrow \sin \alpha_c = \frac{n_2}{n_1}$$

$$n_0 \sin \theta_i = n_1 \sin \theta_c = n_1 \cos \alpha_c$$

$\theta_c + \alpha_c = \frac{\pi}{2}$

$$\Rightarrow \left(\frac{n_0}{n_1}\right)^2 \sin^2 \theta_i = \cos^2 \alpha_c$$

$$\left(\frac{n_2}{n_1}\right)^2 = \sin^2 \alpha_c$$

$$\Rightarrow 1 = \frac{n_0^2}{n_1^2} \sin^2 \theta_i + \frac{n_2^2}{n_1^2}$$

$$\Rightarrow \left(1 - \frac{n_2^2}{n_1^2}\right) \frac{n_1^2}{n_0^2} = \sin^2 \theta_i \Rightarrow n_0^2 \sin^2 \theta_i = n_1^2 - n_2^2$$

$$\Rightarrow \sin \theta_i = \frac{NA}{n_0} \quad NA = \sqrt{n_1^2 - n_2^2}$$

Módy

$$\Delta \varphi = k 2d \cos \alpha + \Delta \varphi_{odr} \approx 2n_1 k d \cos \alpha = 2m\pi$$

$$\left[\frac{2d}{\lambda_0} n_1 \cos \alpha_c \right] = \left[\frac{2d}{\lambda_0} NA \right] = M$$

• M+1 udava počet módov, kt. sa môže šíriť dnu

Útlm

$$B = 10 \log_{10} \frac{P_1}{P_2}$$

\rightarrow výkon na vstupe
 \rightarrow útlm
 \rightarrow výkon na výstupe

Nelineárna optika

• rozvoj vzhľadom $P_i = \epsilon_0 \chi_{ij}(\omega_j) E_j(\omega_j)$

$$P_i = \epsilon_0 \chi_{ij}(\omega_j) E_j(\omega_j) + \epsilon_0 \chi_{ijk}(\omega_i, \omega_j, \omega_k) E_j(\omega_j) E_k(\omega_k) + \epsilon_0 \chi_{ijkl}(\omega_i, \omega_j, \omega_k, \omega_l) E_j(\omega_j) E_k(\omega_k) E_l(\omega_l)$$

↗ 2. rádu
↘ 3 rádu

2. rádu

$$P_i^{(2)} = \epsilon_0 \chi_{ijk} E_j E_k$$

• pre $E = E_0 \left(\frac{e^{i\omega t} + e^{-i\omega t}}{2} \right) = E_0 \cos \omega t$ a izotropné prostredie:

$$P^{(2)} = \epsilon_0 \frac{E_0^2}{4} \left(e^{2i\omega t} + e^{-2i\omega t} + 1 \right) = \underbrace{\epsilon_0 \frac{E_0^2}{4}}_{\text{optické usmernenie}} + \underbrace{\epsilon_0 \frac{E_0^2}{2} \cos(2\omega t)}_{\text{vlna 2. rádu}}$$

• → generovanie druhej harmonickej

• → konštantná polarizácia

• podmienka sfaržovania: $2k_1 = k_2 \rightarrow 2\omega \frac{n(\omega)}{c} = 2\omega \frac{n(2\omega)}{c}$

$$\Rightarrow n(\omega) = n(2\omega)$$

3. rádu

$$P^{(3)} = \epsilon_0 \frac{E_0^3}{8} \left(e^{-i3\omega t} + e^{i3\omega t} \right) = \epsilon_0 \frac{E_0^3}{8} \left(e^{-i3\omega t} + e^{i3\omega t} + 3e^{-i\omega t} + 3e^{i\omega t} \right)$$

$$= \underbrace{\epsilon_0 \frac{E_0^3}{4} \cos(3\omega t)}_{P_{3\omega}^{(3)}} + \underbrace{\frac{3}{4} \epsilon_0 E_0^3 \cos(\omega t)}_{P_{\omega}^{(3)}}$$

● třetí harmonická ↙ intenzita

● $P_{\omega}^{(3)} = \epsilon_0 \frac{3}{4} E_0^2 (E_0 \cos(\omega t)) \propto I E(t)$

$$P_{\omega} = P_{\omega}^{(1)} + P_{\omega}^{(3)} = \epsilon_0 \chi_L E(t) + \epsilon_0 \chi_{NL} E(t)$$

$$\Rightarrow n = n_L + n_{NL} = n_L + \frac{1}{2} n_2 I \quad ; n_2 = \frac{3\chi^{(3)}}{2n_L^2 \epsilon_0 c}$$

\Rightarrow samofokuse a automodulace

Interakce záření s hmotou

Základní popis

$$I = I_0 e^{-\alpha z}, \quad \alpha - \text{extinční koef.}$$

\hookrightarrow při absorpci = absorpční koeficient

$$E_x = E_0 e^{-k_I z} e^{i(k_R z - \omega t)} = E_0 e^{i(\tilde{k}z - \omega t)}$$
$$\tilde{k} = k_R + i k_I \rightarrow \text{cplk. dvojnásobný vektor}$$

$$\left. \begin{array}{l} k_R = \frac{\omega}{c} n \\ k_I = \frac{\omega}{c} \kappa \end{array} \right\} \tilde{N} = n + i\kappa \rightarrow \text{cplk. index lomu}$$

$$\nabla_x E = -\frac{\partial}{\partial t} \vec{B} \rightarrow \frac{\partial E_x}{\partial z} = -\frac{\partial}{\partial t} B_y$$

$$\rightarrow B_y = E_0 \frac{\tilde{k}}{\omega} e^{i(\tilde{k}z - \omega t)} = \frac{E_0}{\omega} |\tilde{k}| e^{i\varphi_N} e^{i(\tilde{k}z - \omega t)} = B_0 e^{i\varphi_N} e^{i(\tilde{k}z - \omega t)}$$

fázový posun mezi \vec{B} a \vec{E}

$$\Rightarrow \vec{B} \propto \vec{E} \quad \text{nekmitají ve fázi} \quad \text{tg } \varphi_N = \frac{\kappa}{n}$$

$$H_y = \epsilon_0 c |\tilde{N}| e^{i\varphi_N} E_x \quad \epsilon_r = \tilde{N}^2$$
$$D_x = \epsilon_0 |\tilde{N}|^2 e^{i2\varphi_N} E_x$$

$$P_x = \epsilon_0 |\tilde{\chi}| e^{i\varphi_\chi} E_x \quad \tilde{\chi} = \chi_R + i\chi_I$$
$$\epsilon_R = \chi_R + 1$$
$$\epsilon_I = \chi_I$$

Fresnelovy koeficienty

$$\theta_i = \theta_t = 0 \Rightarrow r_{sp} = r = \frac{n_1 - n_2}{n_1 + n_2}$$

$$\text{pro } n_1 = 1 \Rightarrow r = \frac{1 - n_2}{1 + n_2} \Rightarrow r = \frac{1 - n_2 - i\kappa_2}{1 + n_2 + i\kappa_2}$$

$\underbrace{\hspace{10em}}_{\text{neabsorbují}}$
 $\underbrace{\hspace{10em}}_{\text{absorbují}}$

$$R = |r|^2 = \frac{1 - n_2 - i\kappa_2}{1 + n_2 + i\kappa_2} \frac{1 - n_2 + i\kappa_2}{1 + n_2 - i\kappa_2} = \frac{(1 - n_2)^2 + \kappa_2^2}{(1 + n_2)^2 + \kappa_2^2} = R$$

Poyntingov vektor

$$\vec{S} = \vec{E} \times \vec{H} = \text{Re}\{\vec{E}\} \times \text{Re}\{\vec{H}\} = \frac{1}{2} (\vec{E}_x + \vec{E}_x^*) \frac{1}{2} (\vec{H}_y + \vec{H}_y^*)$$

$$\langle S_z \rangle_T = \frac{1}{4} \langle \cancel{E_x} H_y + E_x^* H_y + E_x H_y^* + \cancel{H_y} E_x^* \rangle_T =$$

\rightarrow v integrálu úmone
 $\int_0^T \cos(2\omega t) dt = 0$

$$= \frac{1}{4} \langle E_x^* H_y + E_x H_y^* \rangle = \frac{1}{4} E_0^2 \epsilon_0 c \left\langle e^{c(\tilde{k}z - \omega t)} (n - i\kappa) e^{-c(\tilde{k}z - \omega t)} + e^{-c(\tilde{k}z - \omega t)} (n + i\kappa) e^{c(\tilde{k}z - \omega t)} \right\rangle =$$

$$= \frac{1}{4} E_0^2 \epsilon_0 c e^{-2k_I z} [n - i\kappa + n + i\kappa] = \underbrace{\frac{1}{2} E_0^2 \epsilon_0 c n}_{I_0} e^{-2k_I z} = I_0 e^{-\alpha z} = I_0 e^{-\alpha z}$$

$$\Rightarrow \alpha = 2k_I$$

Lorentzov model

- model dielektrika
- elektron = LHO

$$\ddot{x}(t) + \gamma \dot{x}(t) + \omega_0^2 x(t) = \frac{q}{m} E(t) = \frac{q}{m} E_0 e^{-i\omega t}$$

$$\omega_0^2 = \frac{k_H}{m}$$

$$x(t) = x_0 e^{-i\omega t}$$

$$-\omega^2 x_0 - i\omega \gamma x_0 + \omega_0^2 x_0 = \frac{q}{m} E_0$$

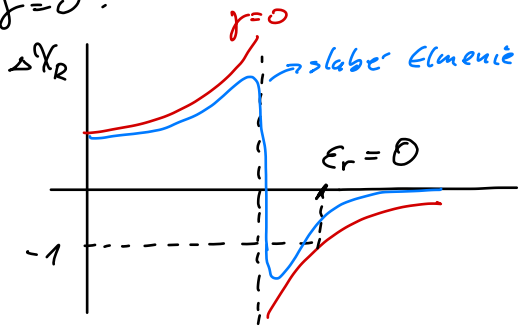
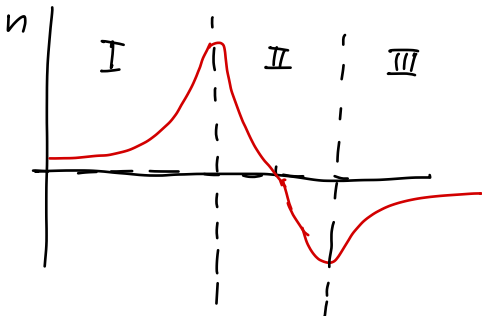
$$\Rightarrow x_0 = \frac{\frac{q}{m} E_0}{\omega_0^2 - i\omega \gamma - \omega^2}$$

$$P = q N x = \frac{q^2 N}{m} \frac{E_0 e^{-i\omega t}}{\omega_0^2 - i\omega \gamma - \omega^2} = \epsilon_0 \chi E$$

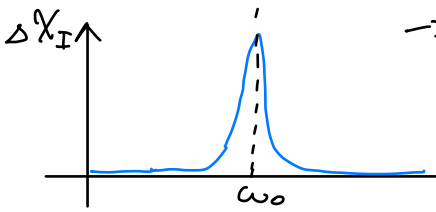
$$\Delta \chi = \frac{\frac{q^2 N}{\epsilon_0 m}}{\omega_0^2 - i\omega \gamma - \omega^2} = \underbrace{\frac{N q^2}{\epsilon_0 m} \frac{\omega_0^2 - \omega^2}{(\omega_0^2 - \omega^2)^2 + \omega^2 \gamma^2}}_{\Delta \chi_R} + i \underbrace{\frac{N q^2}{\epsilon_0 m} \frac{\gamma \omega}{(\omega_0^2 - \omega^2)^2 + \omega^2 \gamma^2}}_{\Delta \chi_I}$$

- 1 oscilator bez treni, $\gamma = 0$:

$$\Delta \chi_R = \frac{q^2}{\epsilon_0 m} \frac{1}{\omega_0^2 - \omega^2}$$



- I, III ... oblast normalni disperze
- II ... oblast anormalni disperze



→ členy najväčšie v okolí ω_0

Drudeho model

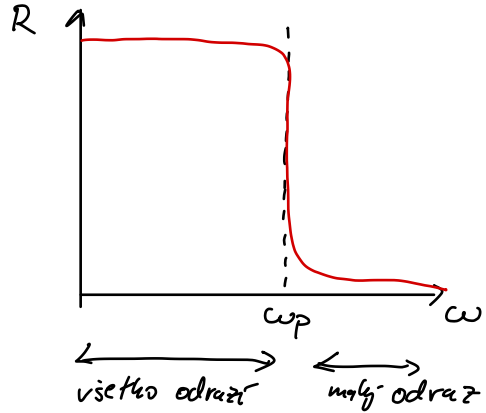
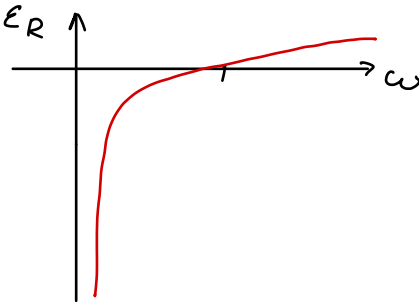
• vlnné nosiče $\Rightarrow k_H = 0 \Rightarrow \omega_D = 0$

$$\tilde{\epsilon}_r = 1 + \frac{Nq^2}{\epsilon_0 m} \frac{1}{-i\gamma\omega - \omega^2} = 1 - \frac{\omega_p^2}{i\gamma\omega + \omega^2}$$

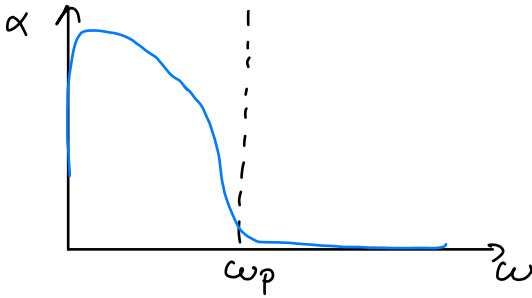
$$\omega_p^2 = \frac{Nq^2}{\epsilon_0 m}$$

plazmová frek.

$$\tilde{\epsilon}_r = 1 - \underbrace{\frac{\omega_p^2 \omega^2}{\omega^4 + \gamma^2 \omega^2}}_{Re} + i \underbrace{\frac{\gamma \omega p^2}{\omega^4 + \gamma^2 \omega^2}}_{Im}$$



→ pre $\omega > \omega_p$ kov neodráža žiarenie \Rightarrow presvitlenie kov



Žáření černého tělesa

Žáření černého tělesa

$$I_o(\nu, T) = I_r(\nu, T) + I_a(\nu, T)$$

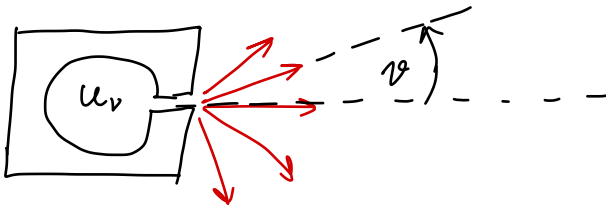
$$1 = \frac{I_r}{I_o} + \frac{I_a}{I_o} = \rho + \alpha$$

$$\epsilon = \frac{I_e}{I_o} \rightarrow \text{emisivita} \quad \frac{\epsilon}{\alpha} = \text{konst.} \rightarrow \text{nezavísí na materiálu}$$

→ černé těleso vše absorbuje, $\alpha_{BB} = 1$

$$\frac{\epsilon}{\alpha} = \epsilon_{BB}$$

$u_\nu(\nu, T)$... objemová hustota energie záření na 1 Hz



$$B_\nu(\nu, T, \nu) = \frac{c}{4\pi} u_\nu(\nu, T) \underbrace{f(\nu)}_{\cos \nu}$$

Wienov zákon

$$u_\nu(\nu, T) = A \nu^3 e^{-\frac{B_\nu}{T}}$$

→ platí i bu pro velké ν

⇒ IF katodofa

Rayleighův - Jeansův zákon

$$u_\nu = \frac{8\pi\nu^2}{c^3} k_B T$$

→ platí jen pro malé ν
 ⇒ UV katastrofa

Planckův zákon

$$u_\nu = \frac{8\pi\nu^2}{c^3} \frac{b'\nu}{e^{\frac{a'\nu}{T}} - 1}$$

→ platí pro všechny ν
 → empiricky konst. a' , b'

↓ použitím úplně iného modelu

$$u_\nu = \frac{8\pi\nu^2}{c^3} \frac{\epsilon}{e^{\frac{\epsilon}{k_B T}} - 1} \Rightarrow \epsilon = b'\nu = h\nu$$

$$\frac{a'\nu}{T} = \frac{\epsilon}{k_B T} \Rightarrow a' = \frac{h}{k_B}$$

⇒ úplně správný vztah:

$$u_\nu(\nu, T) = \frac{8\pi\nu^2}{c^3} \frac{h\nu}{e^{\frac{h\nu}{k_B T}} - 1}$$

↳ (R-J) ⇒ $\frac{8\pi\nu^2}{c^3} \frac{\frac{h\nu}{k_B T}}{e^{\frac{h\nu}{k_B T}} - 1} \cdot k_B T \approx \frac{8\pi\nu^2}{c^3} k_B T$ ↑ pro $\nu \rightarrow 0$

↳ (W) ⇒ $\frac{8\pi h}{c^3} \nu^3 \frac{1}{e^{\frac{h\nu}{k_B T}} - 1} \approx A\nu^3 e^{-\frac{B\nu}{T}}$ → Zanedbáváme pro $\nu \rightarrow \infty$

